

# Потенціал Вудса-Саксона, теорія оболонкових поправок Атомні маси та деформація ядер

В.Ю. ДЕНИСОВ

*Київський національний університет імені Тараса Шевченка*

*Інститут ядерних досліджень, Київ, Україна*

## План

1. Вступ.
2. Потенціал Вудса-Саксона.
3. Теорія оболонкових поправок Струтинського.
4. Атомні маси.
5. Деформація ядер.
7. Поділ ядер.
8. Висновки.

## 1. Вступ

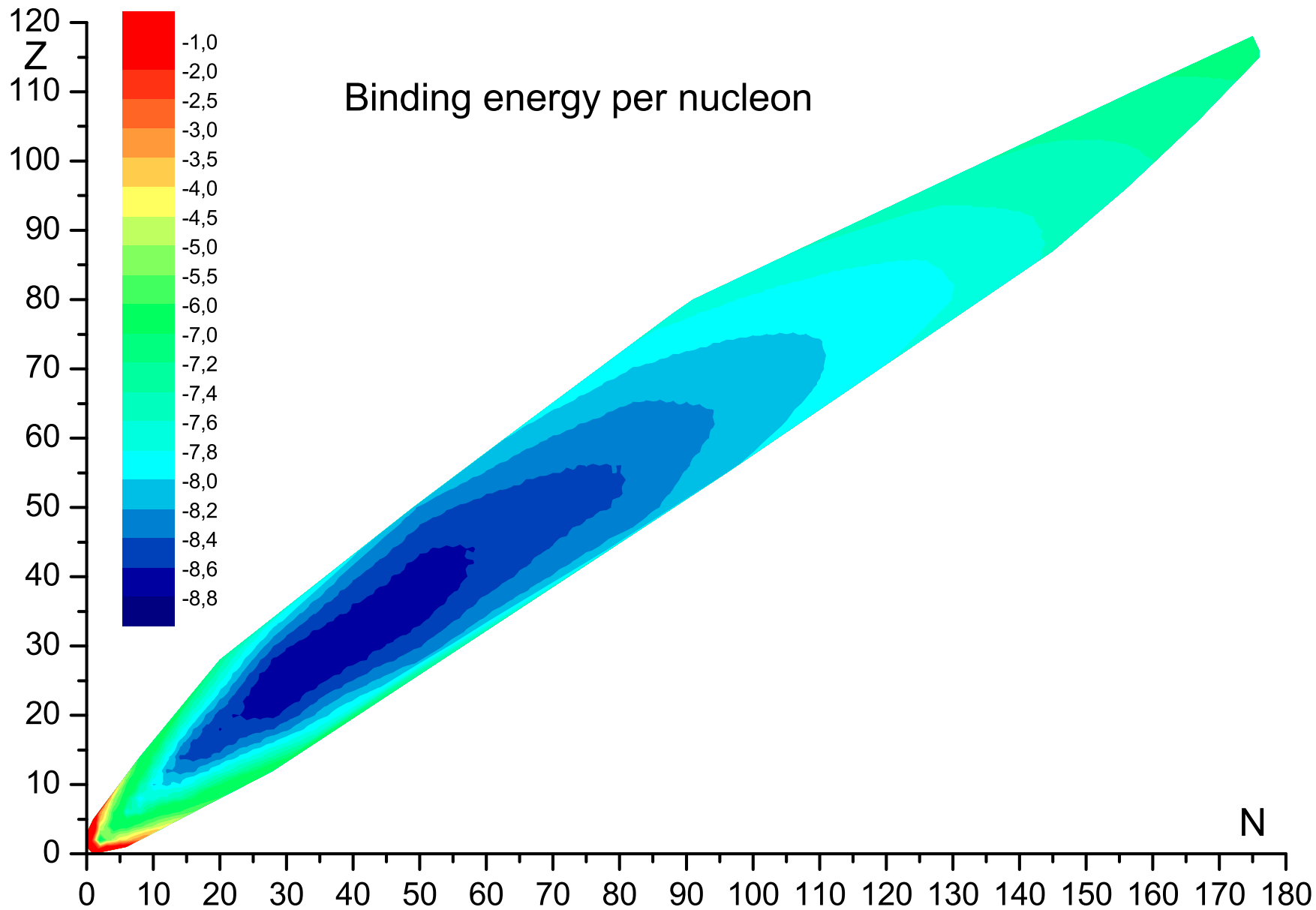
Маса ядра  $M_{\text{Nucl}}c^2$  менша за сумарну масу усіх протонів та нейтронів

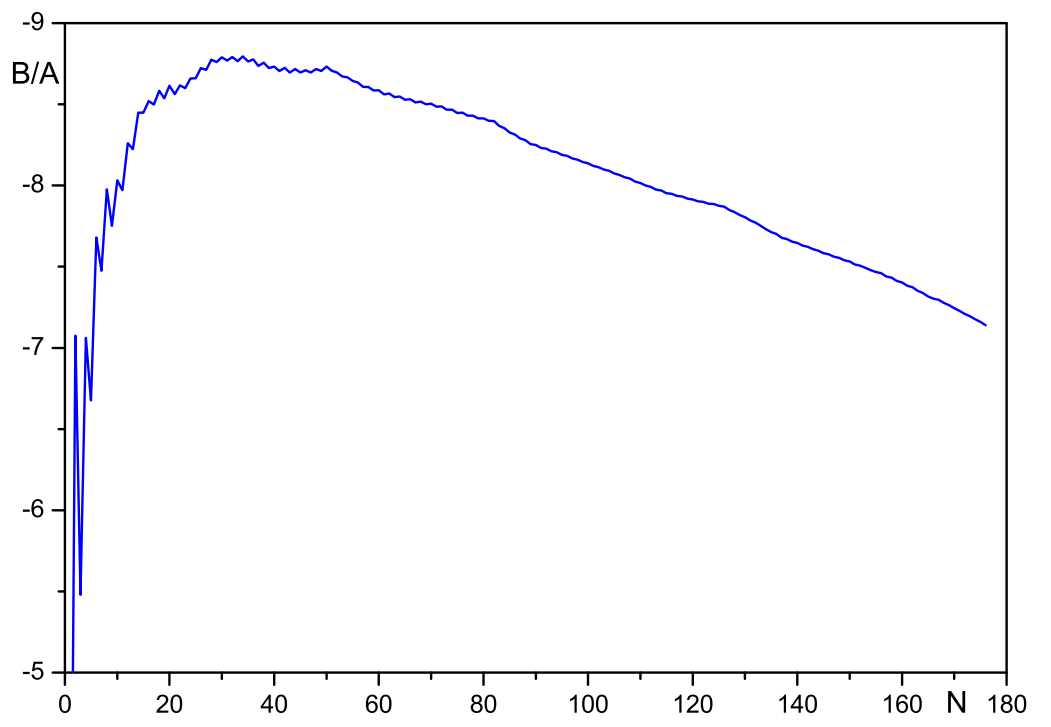
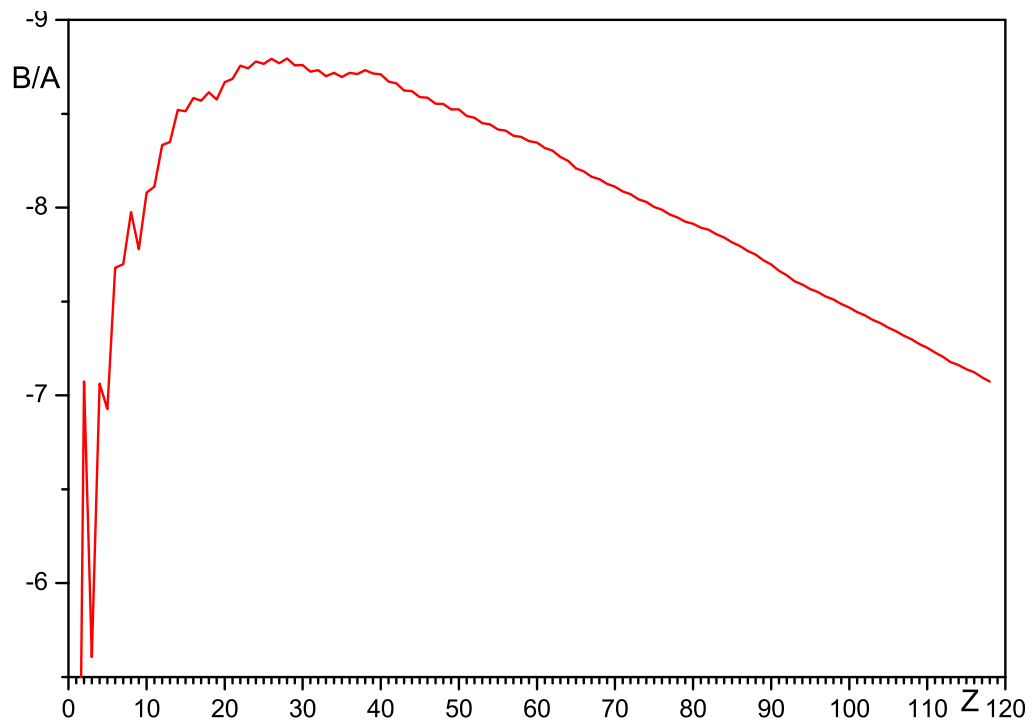
$$M_{\text{Nucl}}c^2 < Z \cdot m_Pc^2 + N \cdot m_Nc^2.$$

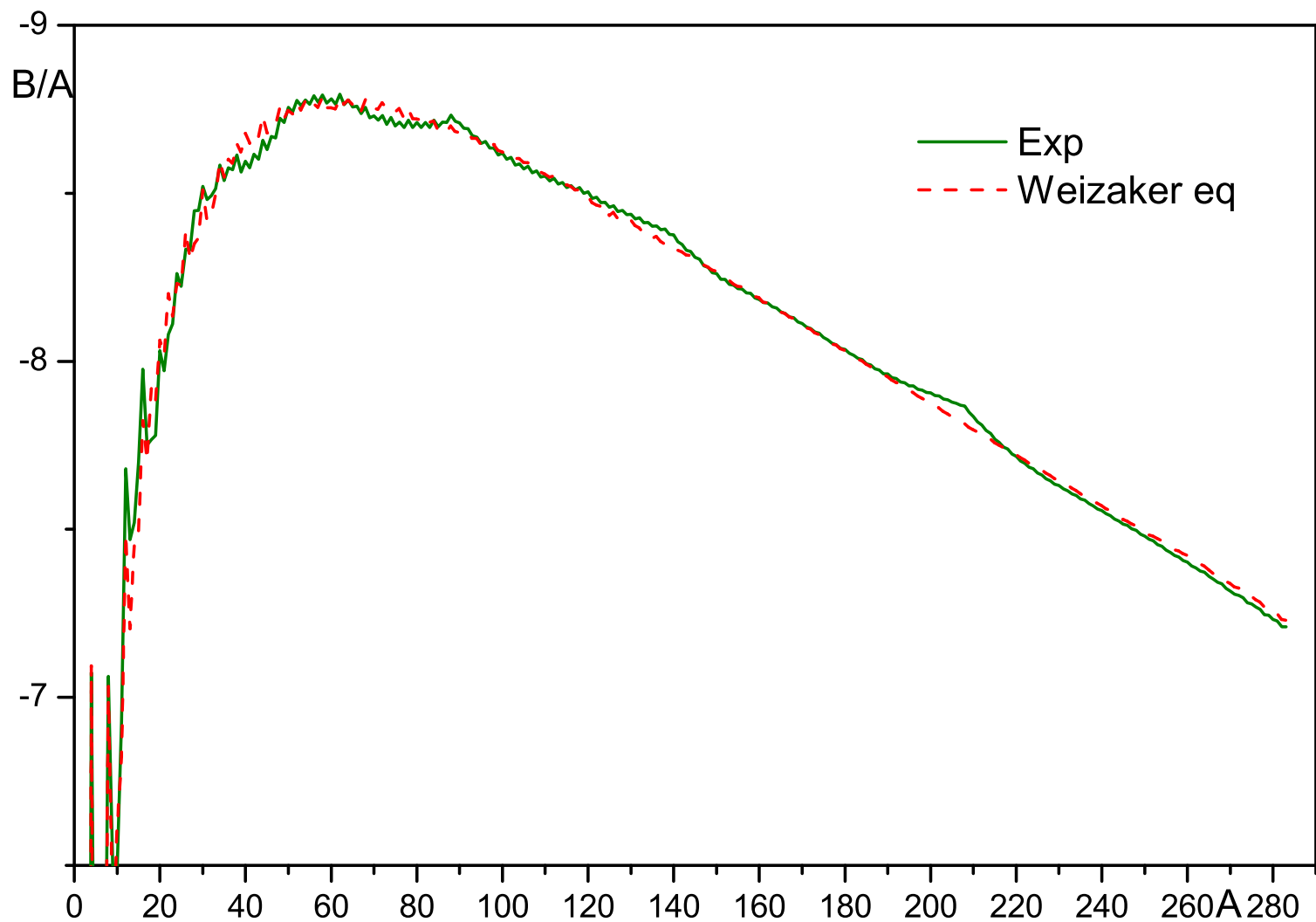
Ця різниця є енергія зв'язку

$$E(Z, N) = Z \cdot m_Pc^2 + N \cdot m_Nc^2 - M_{\text{Nucl}}c^2.$$

# Енергія зв'язку на нуклон



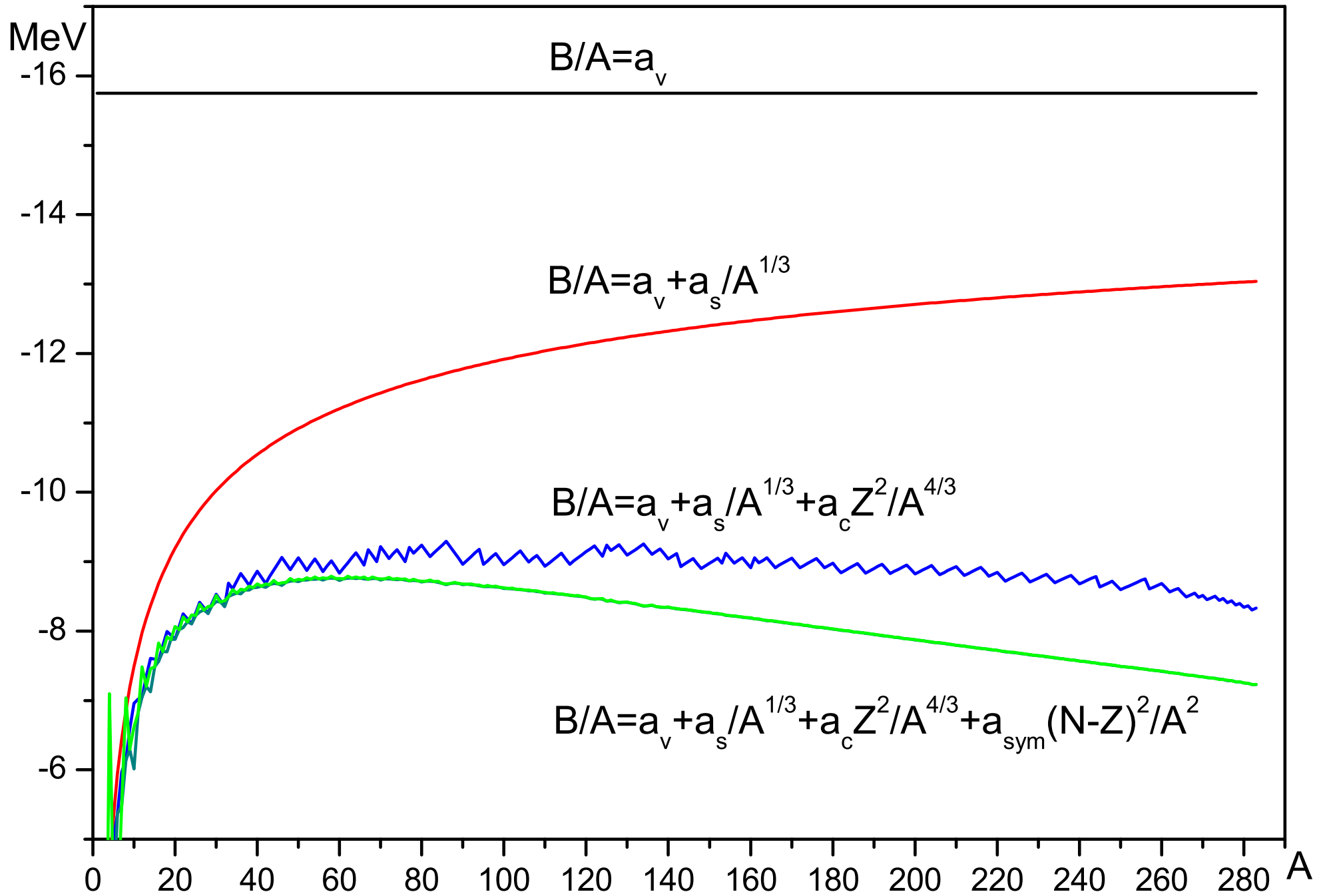




Формула Вайцеккера для енергії зв'язку

$$B = a_v A + a_s A^{2/3} + a_c \frac{Z^2}{A^{1/3}} + a_{sym} \frac{(N - Z)^2}{A} - \begin{cases} 34A^{-3/4} & \text{for even - even} \\ 0 & \text{for odd} \\ -34A^{-3/4} & \text{for odd - odd} \end{cases} .$$

тут  $a_v = -15.75$  MeV,  $a_s = 17.8$  MeV,  $a_c = 0.71$  MeV and  $a_{sym} = 23.7$  MeV.



Краплинна модель

Краплинна модель поділу.

$$R(\theta) = R_0 \lambda(\beta_2, \beta_4) [1 + \beta_2 Y_{20}(\theta) + \beta_4 Y_{40}(\theta)].$$

Об'єм та кількість частинок зберігається при деформації ядра, тому

$$\frac{4\pi R_0^3}{3} = \frac{2\pi}{3} \int_0^\pi \sin(\theta) d\theta [R(\theta)]^3 = \frac{4\pi R_0^3}{3} (\lambda(\beta_2, \beta_4))^3 \int_0^\pi \sin(\theta) d\theta [1 + \beta_2 Y_{20}(\theta) + \beta_4 Y_{40}(\theta)]^3.$$

Умова для  $\lambda(\beta_2, \beta_4) \in$

$$\lambda(\beta_2, \beta_4) = \left\{ \int_0^\pi \sin(\theta) d\theta [1 + \beta_2 Y_{20}(\theta) + \beta_4 Y_{40}(\theta)]^3 \right\}^{-1/3}.$$

Якщо ми врахуємо  $\beta_2^2$  та  $\beta_2^3$  у поверхневої та кулонівської енергіях то

$$\frac{E_{surf}}{b_s A^{1/3}} = 1 + \left( \frac{1}{2\pi} \right) \beta_2^2 + \left( \frac{1}{42} \frac{\sqrt{5}}{\pi^{3/2}} \right) \beta_2^3,$$

$$\frac{E_{coul}}{\frac{3e^2 Z^2}{5 R_0}} = 1 - \left( \frac{1}{4\pi} \right) \beta_2^2 - \left( \frac{1}{42} \frac{\sqrt{5}}{\pi^{3/2}} \right) \beta_2^3.$$

$$\begin{aligned}
E_{def} &= E_{surf} + E_{coul} = \\
&= b_s A^{1/3} \left[ 1 + \left( \frac{1}{2\pi} \right) \beta_2^2 + \left( \frac{1}{42} \frac{\sqrt{5}}{\pi^{3/2}} \right) \beta_2^3 \right] \\
&\quad + \frac{3e^2 Z^2}{5 R_0} \left[ 1 - \left( \frac{1}{4\pi} \right) \beta_2^2 - \left( \frac{1}{42} \frac{\sqrt{5}}{\pi^{3/2}} \right) \beta_2^3 \right]
\end{aligned}$$

Параметр подільності

$$x = \frac{E_{coul}}{2E_{surf}} = \frac{\frac{3e^2 Z^2}{5 R_0}}{2b_s A^{2/3}} = \frac{3e^2}{10b_s} \frac{Z^2}{R_0 A^{2/3}} = \frac{3e^2}{10r_0 b_s} \frac{Z^2}{A^1} \approx 0.02 \frac{Z^2}{A},$$

де  $R_0 = r_0 A^{1/3} \approx 1.2 A^{1/3} \text{fm}$ ,  $B_s \approx 17 - 19 \text{MeV}$ .

$$\begin{aligned}
E_{def} &= b_s A^{1/3} \left\{ \left[ 1 + \left( \frac{1}{2\pi} \right) \beta_2^2 + \left( \frac{1}{42} \frac{\sqrt{5}}{\pi^{3/2}} \right) \beta_2^3 \right] + 2x \left[ 1 - \left( \frac{1}{4\pi} \right) \beta_2^2 - \left( \frac{1}{42} \frac{\sqrt{5}}{\pi^{3/2}} \right) \beta_2^3 \right] \right\} \\
&= b_s A^{1/3} \left\{ (1 + 2x) + \left( \frac{1}{2\pi} \right) \beta_2^2 (1 - x) + \left( \frac{1}{42} \frac{\sqrt{5}}{\pi^{3/2}} \right) \beta_2^3 (1 - 2x) \right\}
\end{aligned}$$



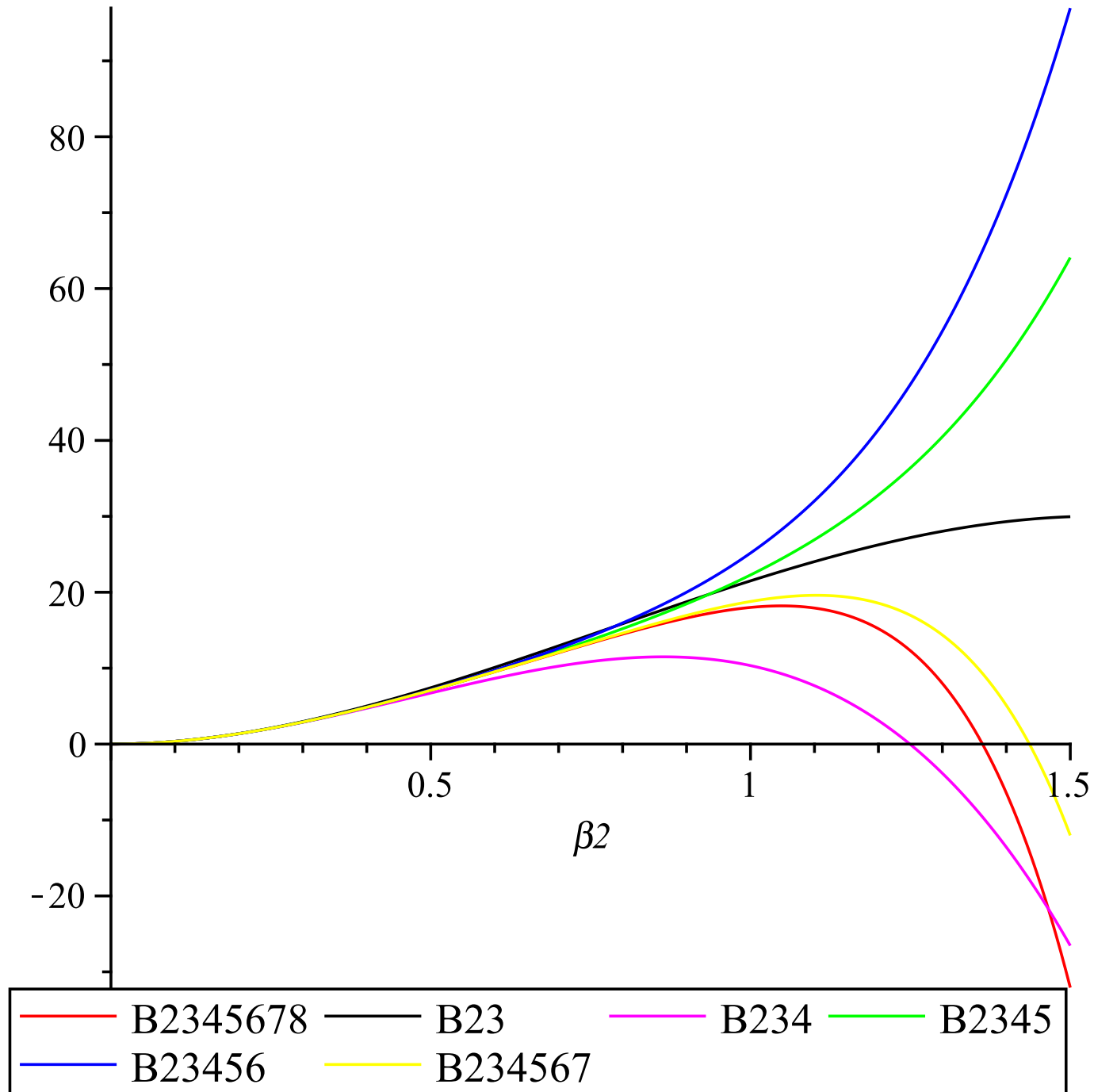
Поверхнева енергія:

$$\begin{aligned}
\frac{E_{surf}}{b_s A^{2/3}} = & 1 + \frac{10539}{616} \frac{\beta_2^2 \beta_3^2 \beta_4}{\pi^{5/2}} - \frac{1350}{1001} \frac{\sqrt{5} \beta_2 \beta_4^3}{\pi^2} - \frac{1805}{56056} \frac{\sqrt{5} \beta_2^5 \beta_4}{\pi^3} \\
& - \frac{5}{77} \frac{\sqrt{5} \beta_2 \beta_4^2}{\pi^{3/2}} - \frac{45}{308} \frac{\sqrt{5} \beta_2^3 \beta_4}{\pi^2} + \frac{1011}{572} \frac{\sqrt{5} \beta_2^3 \beta_4^2}{\pi^{5/2}} - \frac{1}{15} \frac{\sqrt{5} \beta_2 \beta_3^2}{\pi^{3/2}} \\
& + \frac{6637}{4620} \frac{\sqrt{5} \beta_2^3 \beta_3^2}{\pi^{5/2}} - \frac{54}{13} \frac{\sqrt{5} \beta_2 \beta_3^2 \beta_4}{\pi^2} - \frac{3}{14} \frac{\beta_2^2 \beta_4}{\pi^{3/2}} - \frac{3}{22} \frac{\beta_3^2 \beta_4}{\pi^{3/2}} + \frac{9911975}{879648} \frac{\beta_2^4 \beta_4^2}{\pi^3} \\
& + \frac{2593337}{288288} \frac{\beta_2^4 \beta_3^2}{\pi^3} - \frac{27955}{4004} \frac{\beta_4^2 \beta_2^2}{\pi^2} - \frac{18059}{1144} \frac{\beta_3^2 \beta_4^2}{\pi^2} + \frac{1313019}{136136} \frac{\beta_2^2 \beta_4^3}{\pi^{5/2}} \\
& - \frac{242835}{68068} \frac{\beta_2^6 \beta_4}{\pi^{7/2}} + \frac{23763}{16016} \frac{\beta_2^4 \beta_4}{\pi^{5/2}} + \frac{73}{924} \frac{\sqrt{5} \beta_2^5}{\pi^{5/2}} - \frac{1}{42} \frac{\sqrt{5} \beta_2^3}{\pi^{3/2}} - \frac{1635}{10192} \frac{\sqrt{5} \beta_2^7}{\pi^{7/2}} \\
& - \frac{195}{44} \frac{\beta_2^2 \beta_3^2}{\pi^2} - \frac{157122775}{274450176} \frac{\beta_2^8}{\pi^4} - \frac{33}{56} \frac{\beta_2^4}{\pi^2} + \frac{9}{4} \frac{\beta_4^2}{\pi} + \frac{5}{4} \frac{\beta_3^2}{\pi} \\
& + \frac{1218115}{2018016} \frac{\beta_2^6}{\pi^3} - \frac{81}{2002} \frac{\beta_4^3}{\pi^{3/2}} + \frac{1}{2} \frac{\beta_2^2}{\pi} - \frac{27099}{11440} \frac{\beta_3^4}{\pi^2} - \frac{161299}{24752} \frac{\beta_4^4}{\pi^2}.
\end{aligned}$$

# Кулонівська енергія

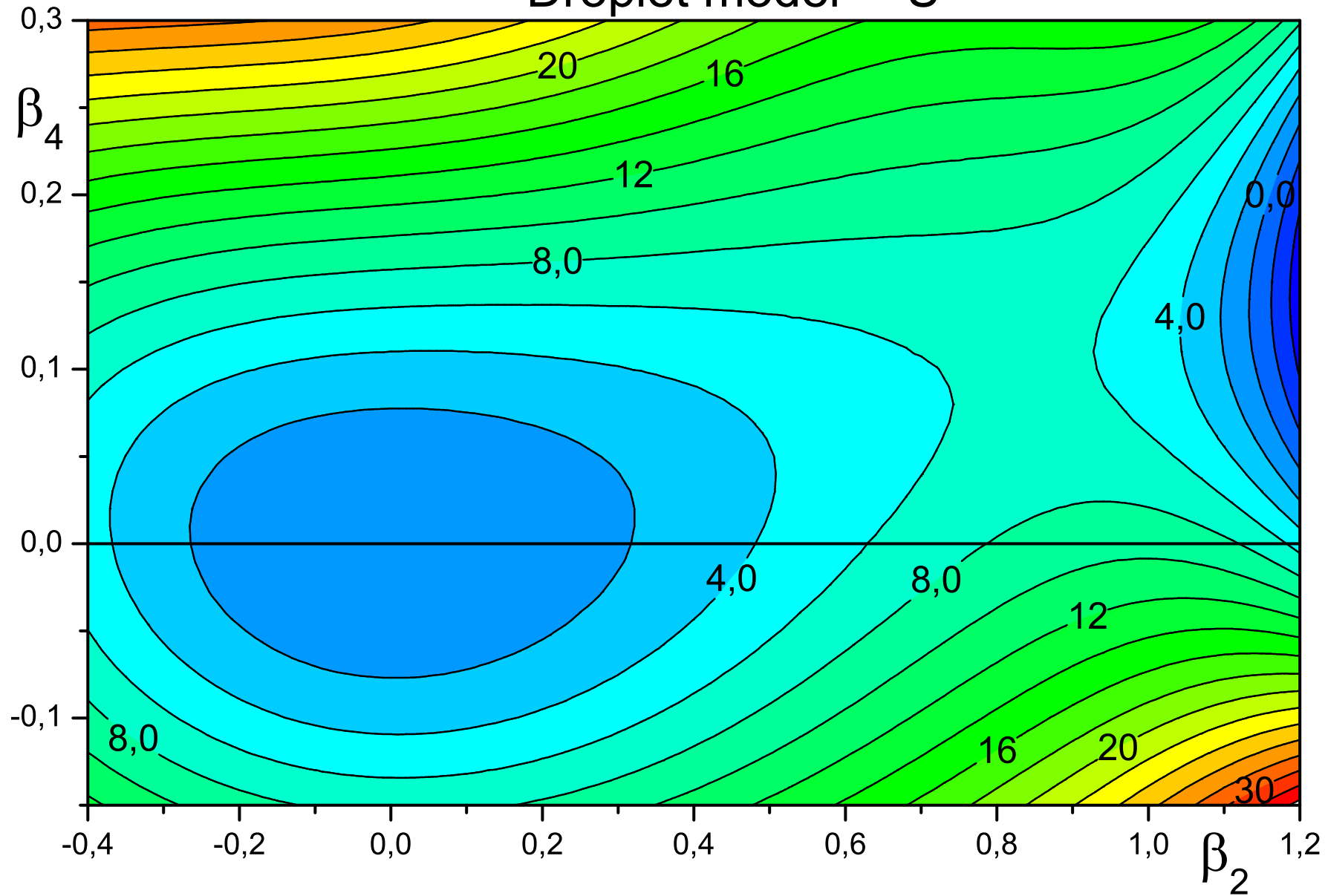
$$\begin{aligned}
 \frac{E_{coul}}{\frac{3e^2Z^2}{5R_0}} = & 1 + \frac{3644661}{2004002} \frac{\beta_3^2 \beta_2^2 \beta_4}{\pi^{5/2}} + \frac{125595}{2004002} \frac{\sqrt{5} \beta_2 \beta_4^3}{\pi^2} - \frac{1051935}{16032016} \frac{\sqrt{5} \beta_2^5 \beta_4}{\pi^3} \\
 & - \frac{10}{77} \frac{\sqrt{5} \beta_2 \beta_4^2}{\pi^{3/2}} + \frac{3}{98} \frac{\sqrt{5} \beta_2^3 \beta_4}{\pi^2} + \frac{20807009}{72144072} \frac{\sqrt{5} \beta_2^3 \beta_4^2}{\pi^{5/2}} - \frac{23}{210} \frac{\sqrt{5} \beta_2 \beta_3^2}{\pi^{3/2}} \\
 & + \frac{14271245}{48096048} \frac{\sqrt{5} \beta_2^3 \beta_3^2}{\pi^{5/2}} + \frac{41772}{102245} \frac{\sqrt{5} \beta_2 \beta_3^2 \beta_4}{\pi^2} - \frac{9}{28} \frac{\beta_2^2 \beta_4}{\pi^{3/2}} \\
 & - \frac{45}{154} \frac{\beta_4 \beta_3^2}{\pi^{3/2}} - \frac{102217343645}{55599031488} \frac{\beta_2^4 \beta_4^2}{\pi^3} - \frac{81589675}{36072036} \frac{\beta_2^4 \beta_3^2}{\pi^3} \\
 & + \frac{25948337}{24048024} \frac{\beta_4^2 \beta_2^2}{\pi^2} + \frac{708970}{429429} \frac{\beta_4^2 \beta_3^2}{\pi^2} + \frac{1080854539}{1158313156} \frac{\beta_2^2 \beta_4^3}{\pi^{5/2}} - \frac{721342715}{1425616192} \frac{\beta_2^6 \beta_4}{\pi^{7/2}} \\
 & + \frac{3915435}{8016008} \frac{\beta_2^4 \beta_4}{\pi^{5/2}} + \frac{235}{6468} \frac{\sqrt{5} \beta_2^5}{\pi^{5/2}} - \frac{1}{42} \frac{\sqrt{5} \beta_2^3}{\pi^{3/2}} - \frac{9059825}{224448224} \frac{\sqrt{5} \beta_2^7}{\pi^{7/2}} + \frac{23761}{20328} \frac{\beta_3^2 \beta_2^2}{\pi^2} \\
 & + \frac{73738687655}{212287211136} \frac{\beta_2^8}{\pi^4} + \frac{255}{784} \frac{\beta_2^4}{\pi^2} - \frac{5}{12} \frac{\beta_4^2}{\pi} - \frac{5}{14} \frac{\beta_3^2}{\pi} - \frac{206021315}{577152576} \frac{\beta_2^6}{\pi^3} \\
 & - \frac{405}{4004} \frac{\beta_4^3}{\pi^{3/2}} - \frac{1}{4} \frac{\beta_2^2}{\pi} + \frac{17550521}{34354320} \frac{\beta_3^4}{\pi^2} + \frac{9065087725}{13899757872} \frac{\beta_4^4}{\pi^2}.
 \end{aligned}$$

$^{238}\text{U}$ : Залежність від ступеню  $n$ ,  $\beta_2^n$  кулонівської та поверхневої енергії.



Залежність кулонівської та поверхневої енергій від параметра деформації

### Droplet model $^{238}\text{U}$



## 2. Потенціал Вудса-Саксона

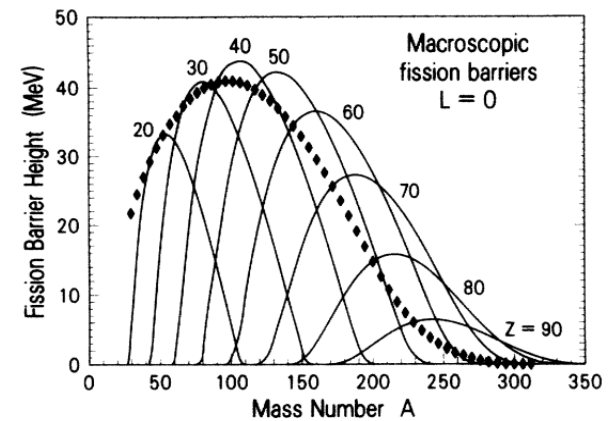
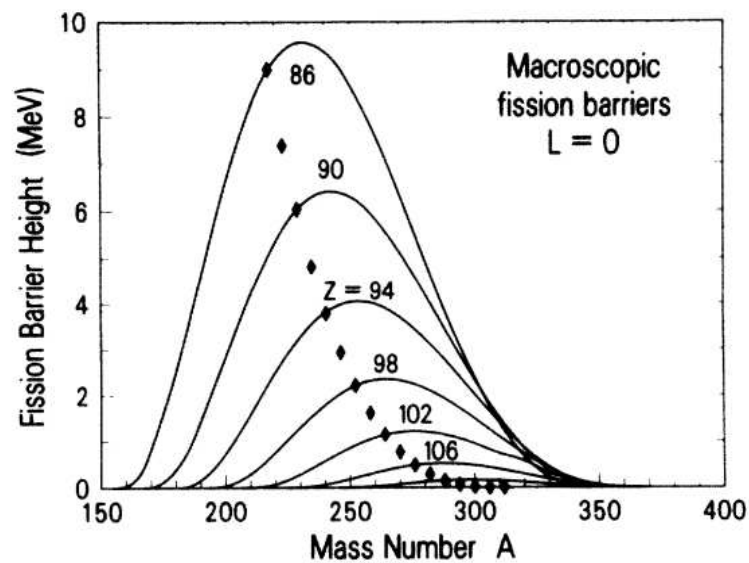
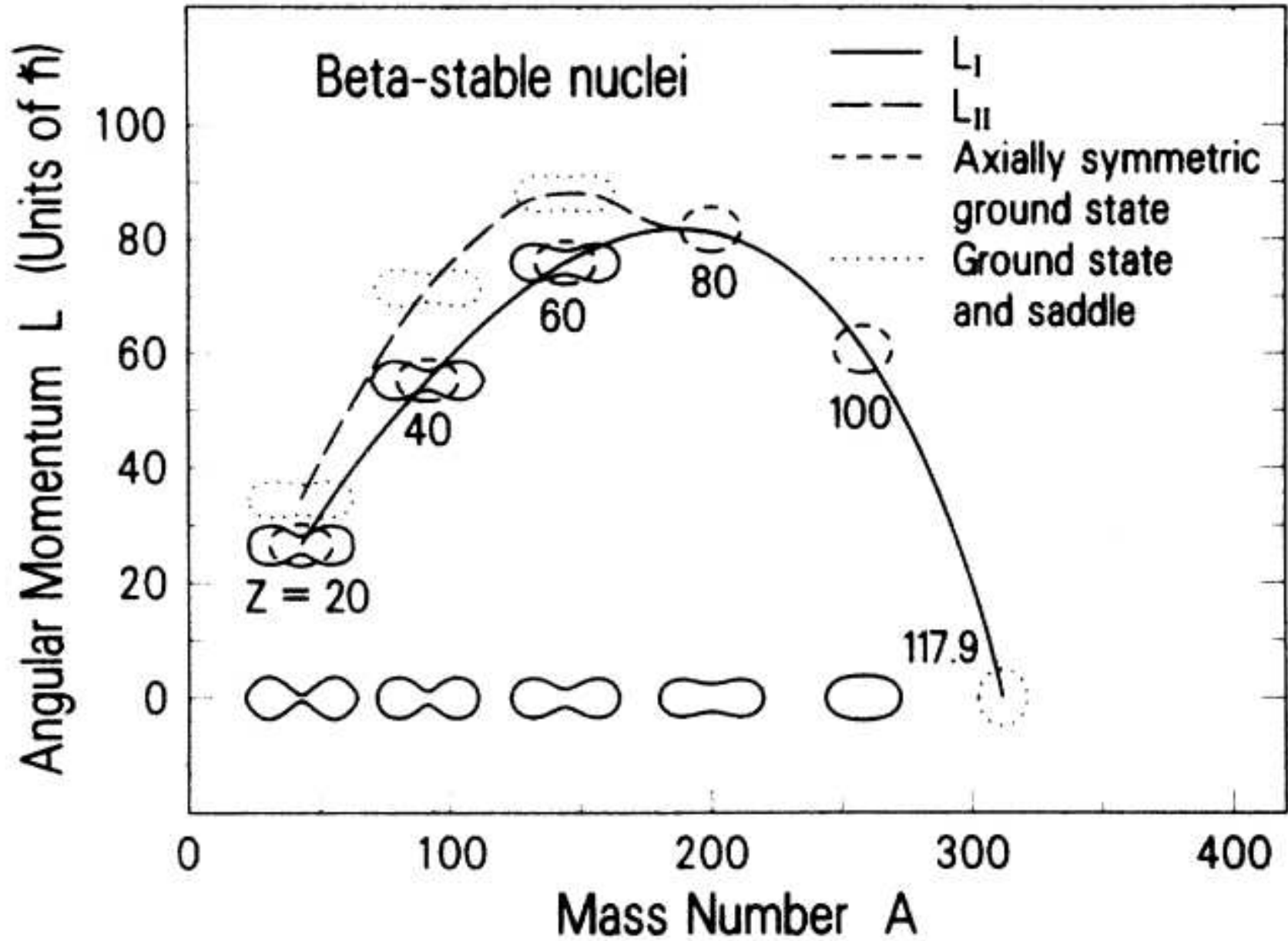


FIG. 3. Calculated fission-barrier heights as a function of mass number for atomic numbers  $Z = 20$  to  $90$ . The points are barriers for beta-stable nuclei from  $Z = 14$  to  $Z = 117.9$  in steps of 2 (except for the last step). The points are the same as the solid curve in Fig. 2.

Форми ядра в основному стані і в седловій точці



Розглянемо для простоти рівняння Шредінгера для протона в ядрі з  $Z$  протонами

$$\left[-\frac{\hbar^2}{2m}\nabla^2 + V\right]\Psi = E\Psi$$

де

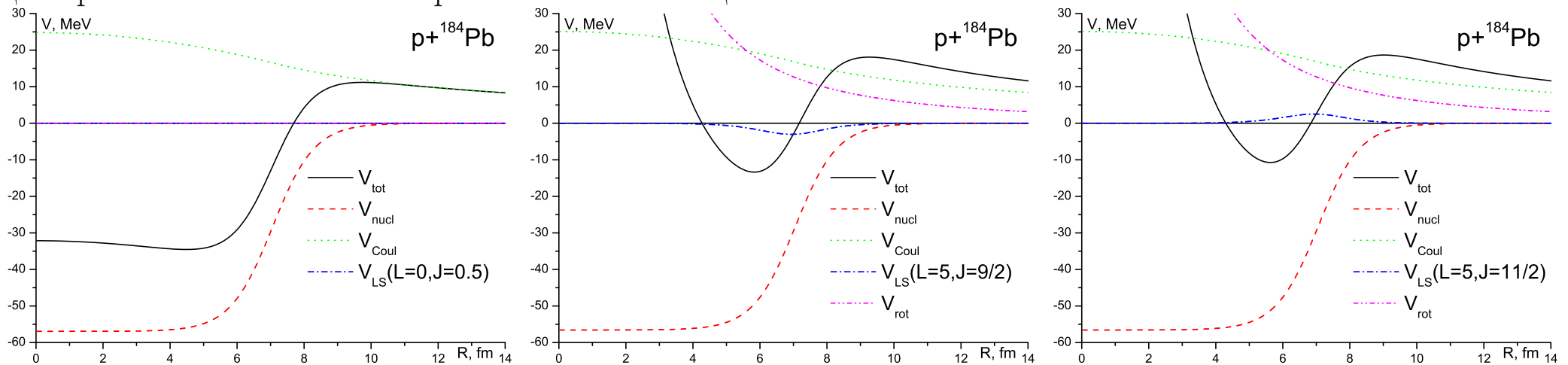
$$V = V_{\text{Coul}}(r) + V_{\text{CR}}(r) + V_{\text{SR}}(r)\hbar^2(\vec{S}\vec{L}),$$

$$V_{\text{Coul}}(r) = \begin{cases} \frac{(Z-1)e^2}{r}, & r \geq R_{\text{Coul}}, \\ \frac{(Z-1)e^2}{R_{\text{Coul}}} \left[ \frac{3}{2} - \frac{r^2}{2R_{\text{Coul}}^2} \right], & r < R_{\text{Coul}}, \end{cases}$$

є кулонівська енергія,

$$V_{\text{CR}}(r) = \frac{V_0}{1 + \exp((r - R_C)/d_C)}, \quad V_{\text{LS}}(r) = \frac{d}{dr} \frac{V_{\text{SR}}}{1 + \exp((r - R_{\text{SR}})/d_{\text{SR}})}.$$

є центральний та спин-обертальний потенціал.



Рівняння Шредінгера:

$$\left[-\frac{\hbar^2}{2m}\nabla^2 + V\right]\Psi = E\Psi$$

Повна хвильова функція

$$\Psi = \frac{\psi_{j\ell}(r)}{r} Y_{\ell m}(\Omega) \xi_s.$$

Поділ змінних, що з'являються в повному рівнянні Шредінгера, призводить до звичайного радіального рівняння для кожного значення орбітального та загального кутового моменту  $\ell$  and  $j$

$$\left\{ -\frac{d^2}{dr^2} - \frac{\ell(\ell+1)}{r^2} + \frac{k^2}{E} [E - (V_{\text{Coul}}(r) + V_{\text{CR}}(r) + iW_{\text{CI}}(r)) - (V_{\text{SR}}(r) + iW_{\text{SR}}(r))\hbar^2(j(j+1) - \ell(\ell+1) - s(s+1))/2] \right\} \psi_{j\ell} = 0$$

де  $k = (2mE/\hbar^2)^{1/2}$ .



Це рівняння можна записати у вигляді

$$\frac{d^2}{dr^2}\psi(r) = A(r)\psi(r).$$

Вводимо допоміжну функцію

$$\zeta(r) = \psi(r) - \frac{h^2}{12}A(r)\psi(r),$$

де  $h$  - крок алгоритму кінцевих різниць. Для функції  $\zeta$  існує алгоритм Нумерова, заснований на формулі скінченної різниці для трьох послідовних точок на сітці з кроком  $h$ ,

$$\zeta_{i+1}(r_{i+1}) = \left[ 2 + \frac{h^2 A_i}{1 - (h^2/12)A_i} \right] \zeta_i(r_i) - \zeta_{i-1}(r_{i-1}).$$

Граничні умови для  $r = 0$  є  $\psi(r) = 0$ .

Асимптотика для  $r \rightarrow \infty$  для зв'язаних рівнів  $E < 0$  є  $\psi(r) \sim \exp[-\sqrt{-2mE/\hbar^2}r]$ .

Асимптотика для  $r \rightarrow \infty$  для квазістаціонарних рівнів  $E > 0$  є

$\psi(r) \sim \sin[\sqrt{2mE/\hbar^2}r + \delta_\ell - \ell\pi/2]$ , де  $\delta_\ell$  - фаза розсіяння.



Борис Васильович Нумеров [29 січня 1891 - 13 вересня 1941] був російським астрономом, землевпорядником та геофізиком.

Якщо оцінити одночастинну енергію  $E_i$  і підсумувати всі енергії, то енергія

$$E_{\text{tot}} = \sum_i^{i_F} E_i.$$

не збігається до енергії зв'язку ядер, тому що потенціал не є самоузгодженим.

Зауважимо, що енергію зв'язування можна оцінити в рамках наближення Хартрі-Фока з високою точністю. Однак наближення Хартрі-Фока є досить складним.

Однак безліч різноманітних величин:

- рівні частинки,
- бар'єри ділення, період напіврозпаду поділу,
- енергії зв'язування (використовуючи підхід до корекції оболонки)
- різні параметри динаміки,
- енергії одночастинкових і збуджених станів

може бути оцінена в простому наближенні Вудса-Саксона з високою точністю.

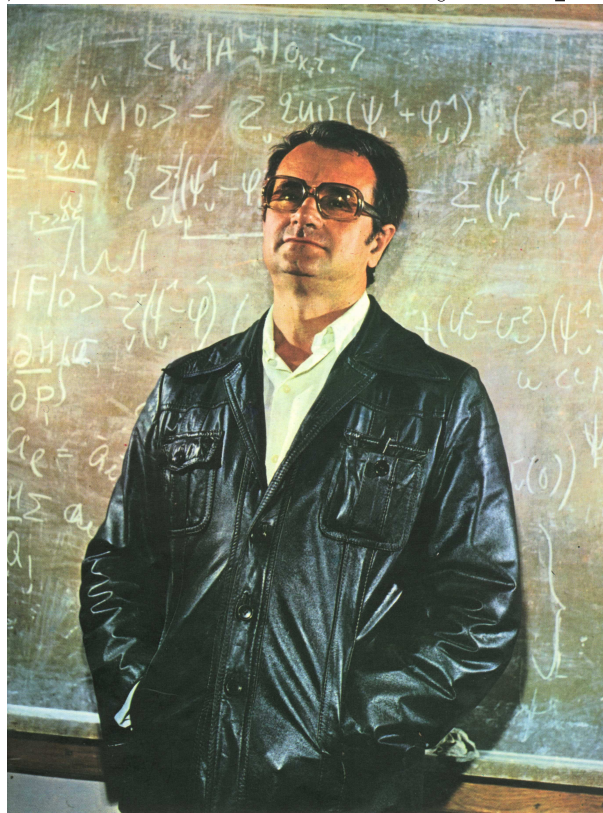
Отже, наближення Вудса-Саксона є досить простим і корисним!

### 3. Теорія оболонкових поправок Струтинського

Вілен Митрофанович Струтинський запровадив підхід до виправлення оболонок у 1965-1968 рр.

(16 жовтня 1929 р., Данилова Балка, Кіровоградський район, Україна - 28 червня 1993 р., Рома, Італія)

Член-кореспондент НАНУ, начальник відділу теоретичної ядерної фізики в ІЯД, Київ.







Головна думка: Як ми це вказували

$$E_{\text{tot}} = \sum_i^{i_F} E_i.$$

не співпадає з енергією зв'язку ядер, тому що потенціал не є самоузгодженим, але ми вважаємо

$$\begin{aligned} E_{\text{tot}} &= \sum_i^{i_F} \tilde{E}_i + \left[ \sum_i^{i_F} E_i - \sum_i^{i_F} \tilde{E}_i \right] \\ &\quad \Downarrow \text{substitution} \Downarrow \\ &= \sum_i^{i_F} \tilde{E}_i + \left[ \sum_i^{i_F} E_i - \sum_i^{i_F} \tilde{E}_i \right] \\ &= \sum_i^{i_F} \tilde{E}_i + \delta E. \end{aligned}$$

Відмітимо, що  $\sum_i \tilde{E}_i$  в цілому досить точна.

$\sum_i \tilde{E}_i$  - енергія, яка оцінюється за допомогою плавних одночастинних енергій, усереднених за енергією.

Густина одночастинних рівнів щільність

$$g(E) = \sum_i \delta(E - E_i)$$

дає одночастинну енергію,  $E_i$ . В цьому випадку

$$\sum_i E_i = \int dE ().$$

Плавна одночастинна енергія,  $\tilde{E}$  задається середньою щільністю рівня однієї частинки,  $\tilde{g}(\epsilon)$ , отриманою від  $g(E)$ , складанням з розгладженням функція  $f(x)$ :

$$\tilde{g}(E) = \frac{1}{\gamma} \int_{-\infty}^{+\infty} dE' g(E') f\left(\frac{E - E'}{\gamma}\right) = \frac{1}{\gamma} \sum_i f\left(\frac{E - E_i}{\gamma}\right),$$

де  $\gamma \sim (1 \div 2)\hbar\Omega = (1 \div 2)E_F A^{1/3}$  - параметр усереднення, близький до відстані між оболонками  $8 \div 10$  MeV. Отже, усереднення відбувається як через зв'язані одночастинки, так і над континуумом одночастинок позитивної енергії. Тому

$$\delta E = \sum_i^{i_F} E_i - \int_{-\infty}^{\tilde{\lambda}} dE \tilde{g}(E) E,$$



де  $\tilde{\lambda}$  - згладжений рівень Фермі, визначений за допомогою рівняння числа частинок:

$$N = \int_{-\infty}^{\tilde{\lambda}} dE \tilde{g}(E).$$

Функція складання  $f(x)$  може бути записана як добуток

$$f(x) = \omega(x)P_p(x),$$

де

$$\omega(x) = \pi^{-1/2}\exp(-x^2)$$

є функцією зважування і

$$P_m(x) = \sum_{k=0,2,\dots}^m \frac{(-1)^{k/2}}{2^k(k/2)!} H_k(x)$$

- так званий поліном виправлення кривизни  $m$  й порядку (типові значення поліноміального порядку складають  $m = 6, 8$ ).

Згладжена одночастинна енергія може бути виражена у вигляді:

$$\tilde{E} = \int_{-\infty}^{\tilde{\lambda}} E \tilde{g}(E) dE = \sum_i E_i \tilde{n}_i + \gamma \frac{d\tilde{E}}{d\gamma},$$

є згладжений розподіл заселення нуклонів

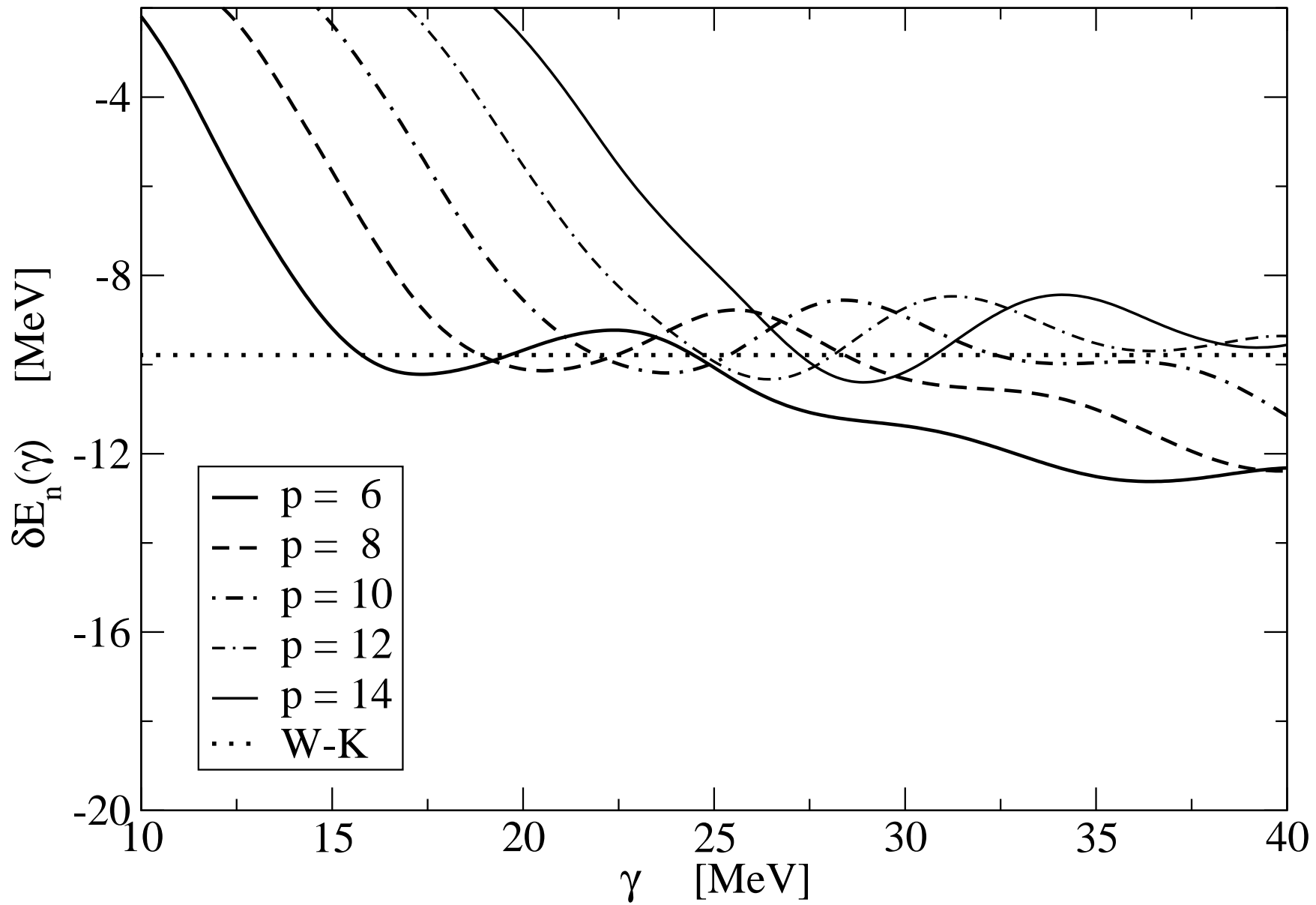
$$\tilde{n}_i = \frac{1}{\gamma} \int_{-\infty}^{\tilde{\lambda}} dE f \left( \frac{E - E_i}{\gamma} \right).$$

Оскільки значення  $\tilde{E}$  не повинно залежати від діапазону згладжування  $\gamma$  (ані від порядку корекції кривизни  $m$ ), другий доданок повинен бути рівним нулю, тобто

$$\frac{d\tilde{E}}{d\gamma} = 0 \quad \text{and} \quad \frac{d\tilde{E}}{dm} = 0.$$

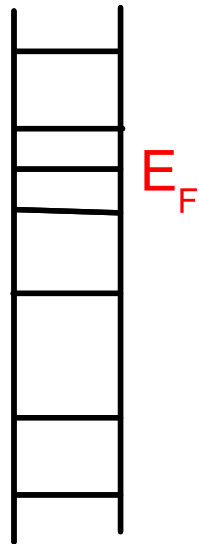
Якщо **умова плато** не виконується, метод усереднення Струтинського не дає однозначного результату.

Як правило, метод оболонкової поправки Струтинського (або точність плато) становить  $\sim 0,5$  MeV у дуже важких ядрах і  $\sim 1,5$  MeV у легких та середніх ядрах. Однак часто такої точності достатньо. Вибір  $\gamma$  і  $m$  на практиці визначає як відповідні значення, де функції  $\tilde{E}(\gamma) \simeq$  і  $\tilde{E}(m) \simeq constant$ .



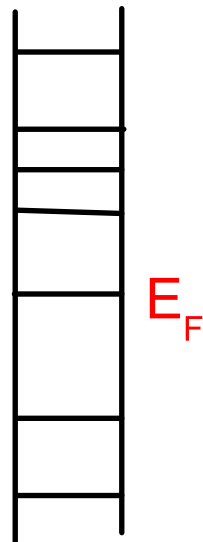
Залежність оболонкової поправки від параметра усереднення  $\gamma$  та порядку полінома виправлення кривизни  $p$ .

$$\text{Shell features } \delta E_{\text{shell}} = \sum_i^{i_F} E_i - \int_{-\infty}^{\tilde{\lambda}} dE \tilde{g}(E) E.$$



energy level  
density is higher  
than average

System stability is  
less than average  
shell correction  
 $\delta E_{\text{shell}} > 0$



energy level  
density is lower  
than average

System stability is  
higher than average  
shell correction  
 $\delta E_{\text{shell}} < 0$

Найвище значення корекції оболонки -  $\delta E_{\text{shell}} = -13 \div -14$  MeV, оцінене для основного стану  $^{208}\text{Pb}$ .

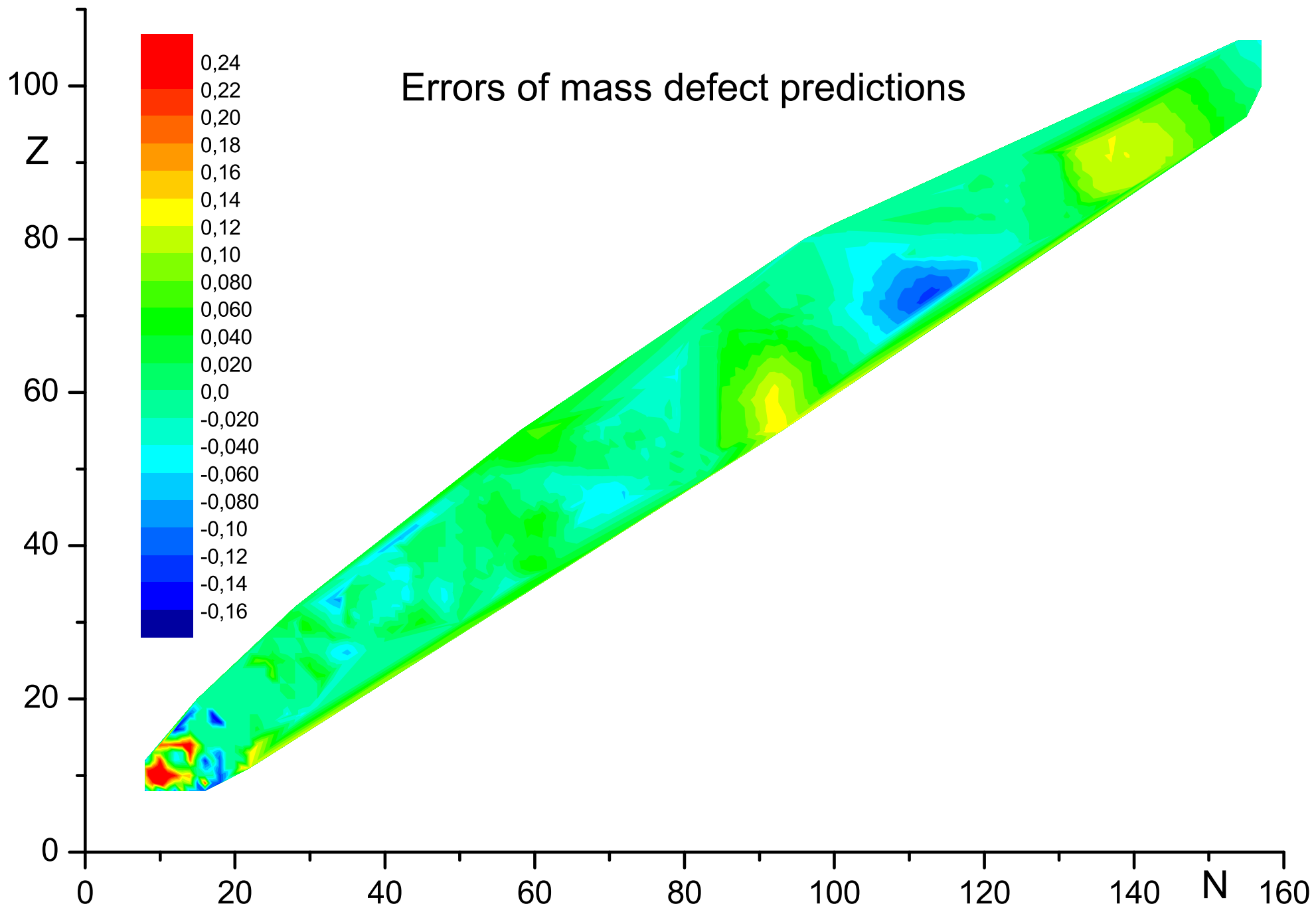
Для порівняння, енергія зв'язку  $^{208}\text{Pb}$  - -1636 MeV.

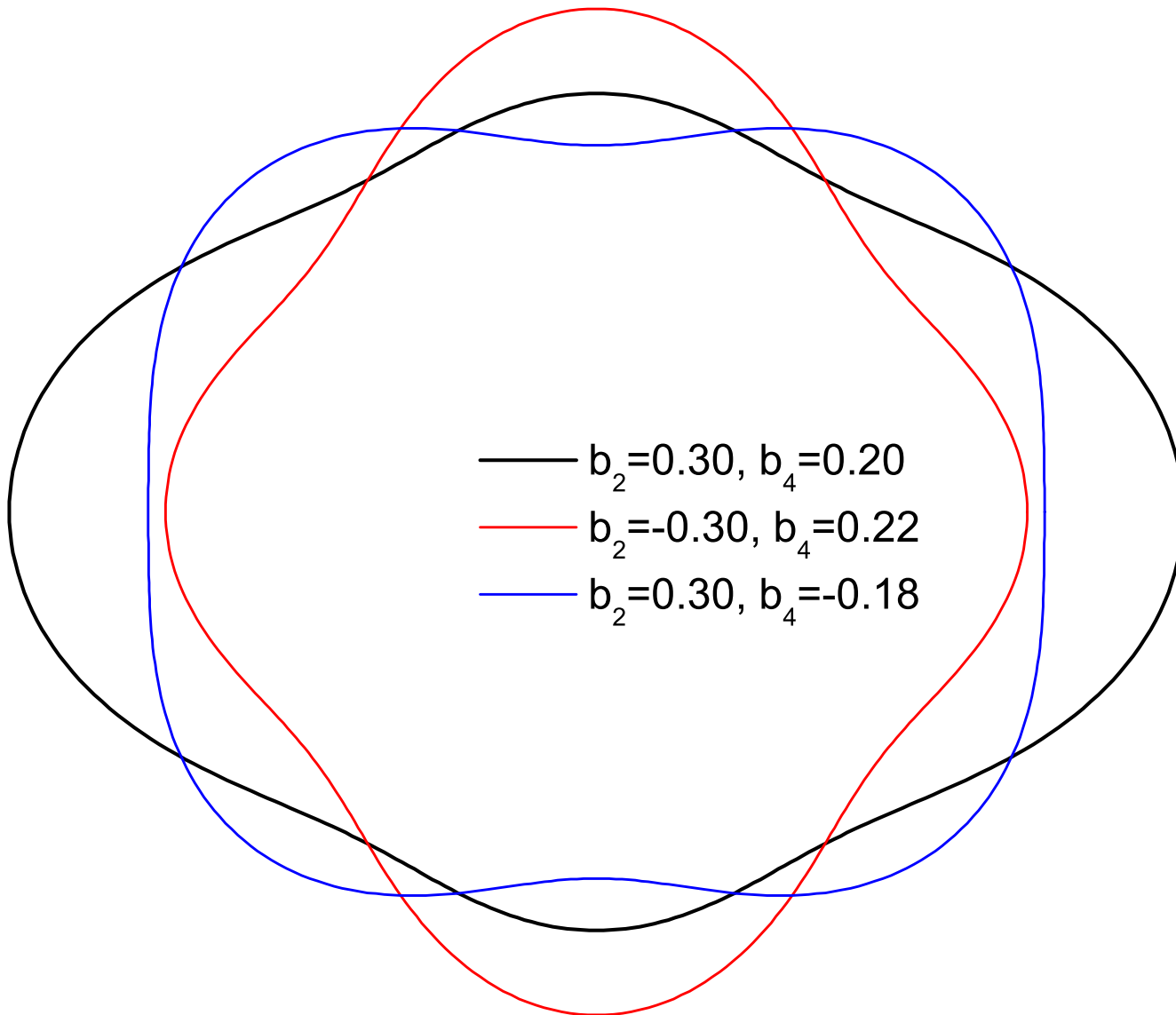
Метод оболонки поправки був надзвичайно корисним.

За допомогою цього методу було побудовано масові формули з надзвичайно високою точністю.

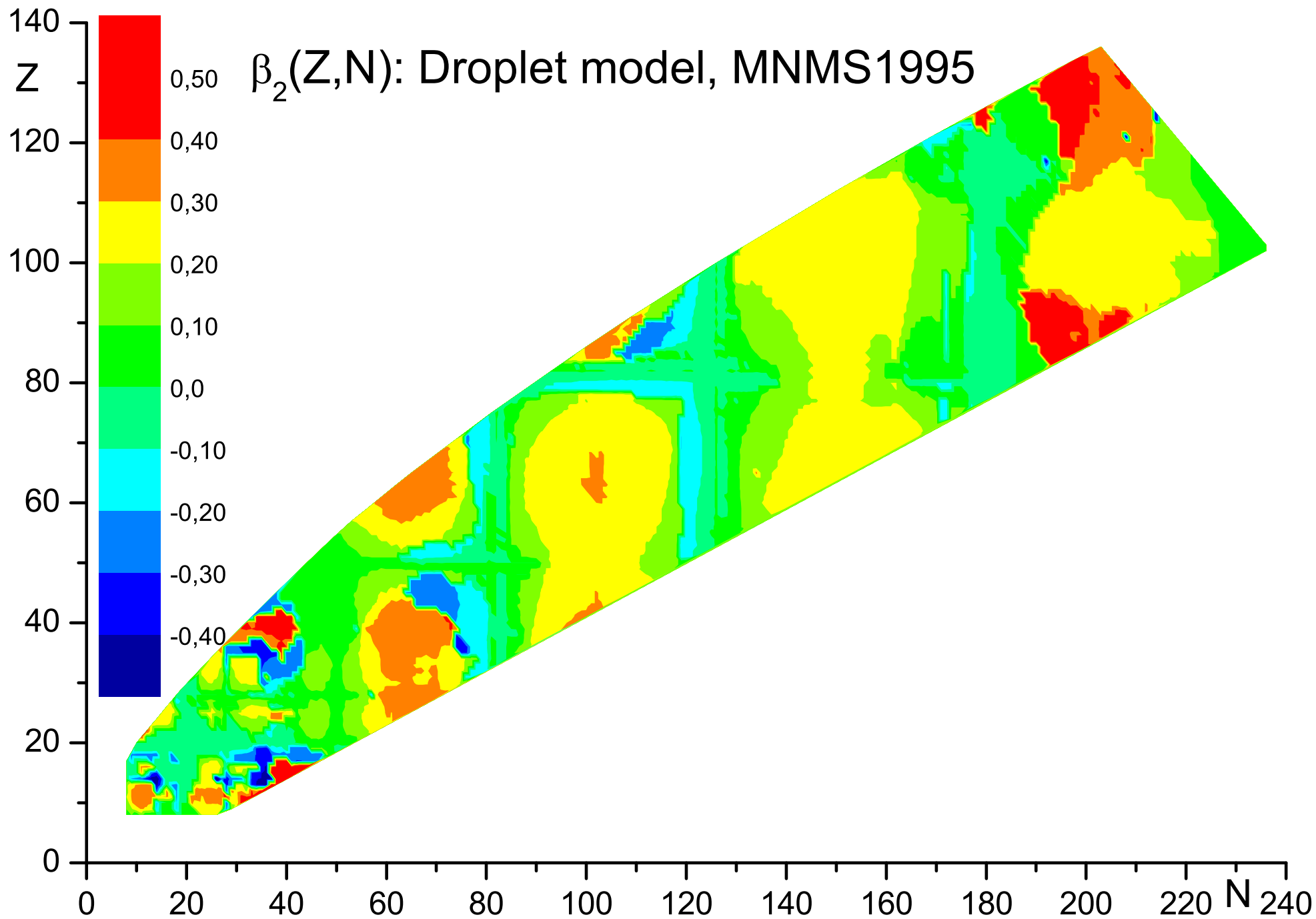
Аксіальні деформації:

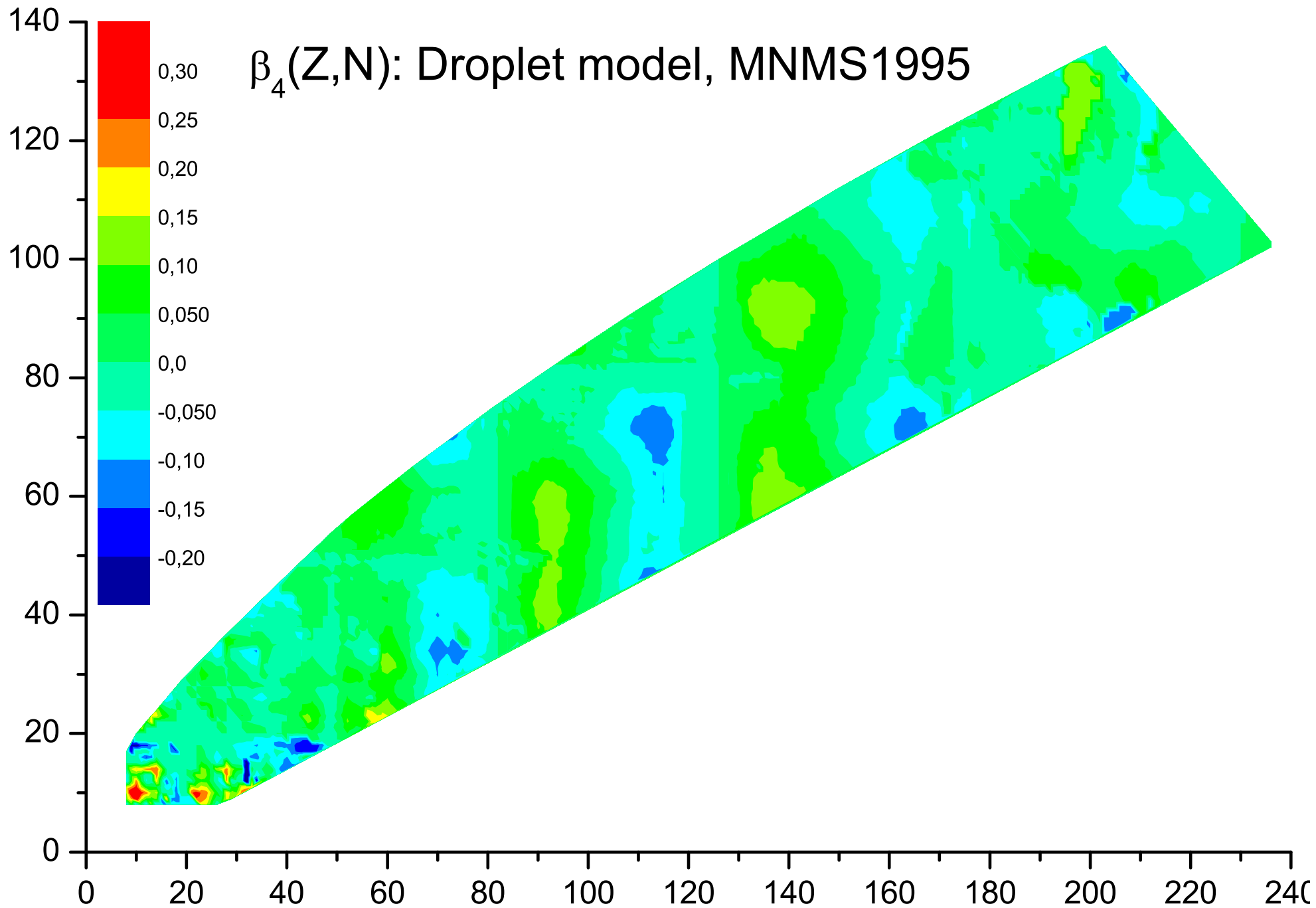
$$\begin{aligned}R(\theta) &= R_0[1 + \beta_2 Y_{20}(\theta) + \beta_4 Y_{40}(\theta)], \\Y_{20}(\theta) &= \sqrt{\frac{5}{16\pi}}(3 \cos^2 \theta - 1), \\Y_{40}(\theta) &= \frac{9}{256\sqrt{\pi}}(35 \cos^4 \theta - 30 \cos^2 \theta + 3).\end{aligned}$$











Неаксіальні деформації:

$$R(\theta, \varphi) = R_0[1 + \beta_2 Y_{20}(\theta) + \beta_{22}(Y_{22}(\theta, \varphi) + Y_{2-2}(\theta, \varphi))],$$

$$Y_{22}(\theta, \varphi) = \sqrt{\frac{3 \cdot 5}{32\pi}} \sin^2 \theta e^{2i\varphi},$$

$$Y_{2-2}(\theta, \varphi) = \sqrt{\frac{3 \cdot 5}{32\pi}} \sin^2 \theta e^{-2i\varphi}.$$

Бета-коливання  $\beta_2 = \beta_{20} + \beta_{20}^t \cos(\omega_\beta^t)$ ,  $\omega_\beta$  - частота бета-коливань.

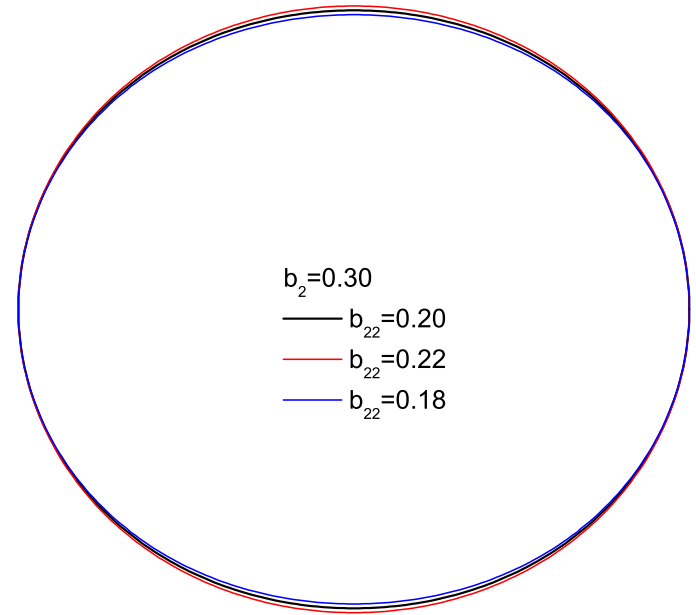
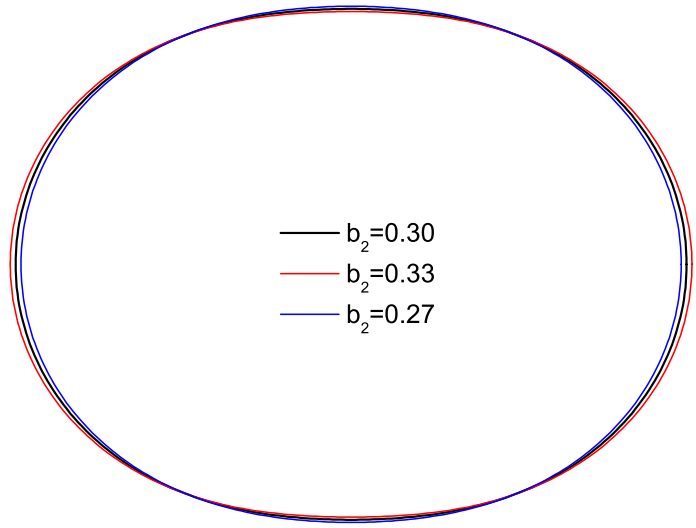
Класичний гамільтоніан - це

$$H = \frac{\mathcal{M}_\beta}{2} \left( \frac{d\beta_{20}^t \cos \omega_\beta t}{dt} \right)^2 + \frac{\mathcal{C}_\beta}{2} (\beta_{20}^t \cos \omega_\beta t)^2.$$

Якщо  $\beta_{22} = \beta_{22}^0 + \beta_{22}^t \cos \omega_\gamma t$  - гамма-коливання,  $\omega_\gamma$  є частота гама-вібрацій.

Класичний Гамільтониан

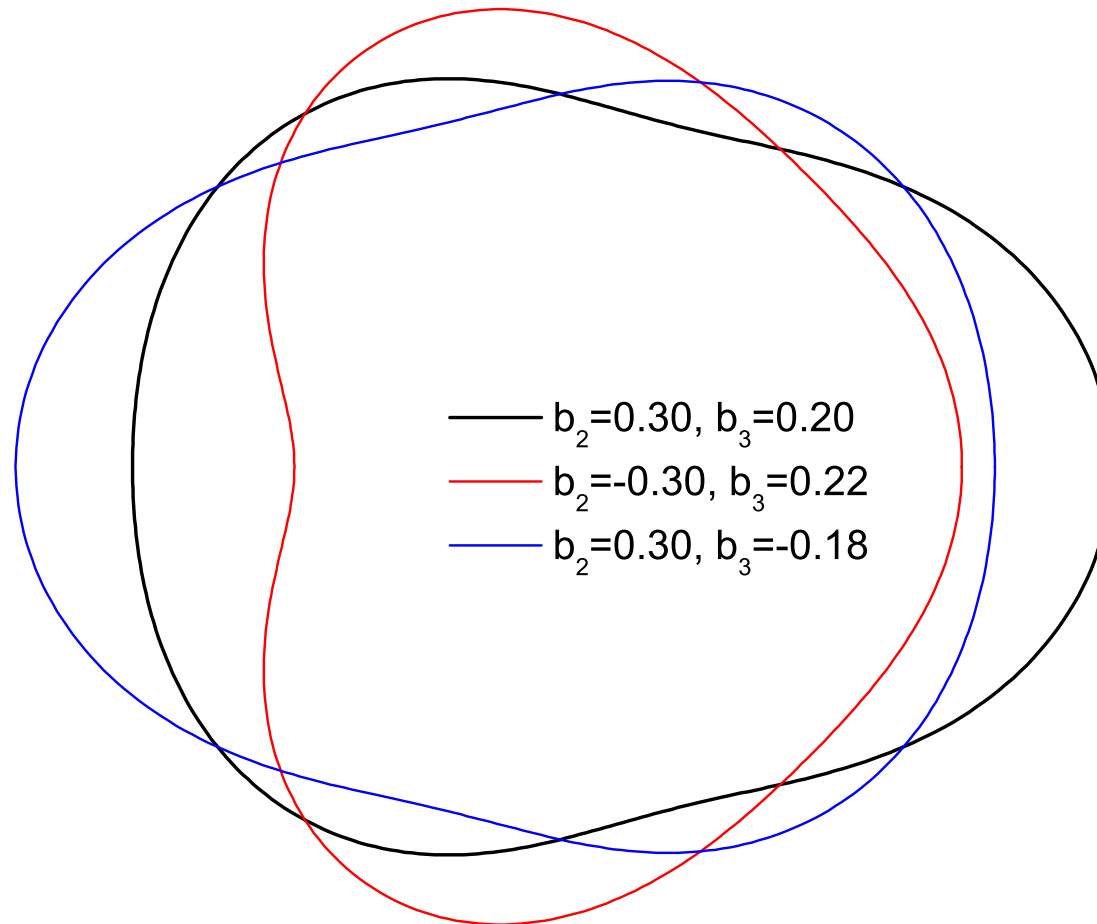
$$H = \frac{\mathcal{M}_\gamma}{2} \left( \frac{d\beta_{22}^t \cos \omega_\gamma t}{dt} \right)^2 + \frac{\mathcal{C}_\gamma}{2} (\beta_{22}^t \cos \omega_\gamma t)^2.$$



Аксіальні дзеркально-асиметрична деформація (грушоподібна)

$$R(\theta) = R_0[1 + \beta_2 Y_{20}(\theta) + \beta_3 Y_{30}(\theta)],$$

$$Y_{30}(\theta) = \sqrt{\frac{7}{64\pi}}(5 \cos^2 \theta - 3) \cos \theta.$$



Неаксіальна дзеркально-асиметрична деформація (банановая)

$$R(\theta) = R_0[1 + \beta_2 Y_{20}(\theta) + \beta_3 Y_{30}(\theta) + \beta_{31}(Y_{31}(\theta, \varphi) - Y_{3-1}(\theta, \varphi))],$$
$$Y_{31}(\theta) = -\sqrt{\frac{3 \cdot 7}{16\pi}}(5 \cos^2 \theta - 1) \sin \theta e^{i\varphi},$$
$$Y_{3-1}(\theta) = \sqrt{\frac{3 \cdot 7}{16\pi}}(5 \cos^2 \theta - 1) \sin \theta e^{-i\varphi}.$$

R. R. Chasman, Physics Letters B, Volume 266, Issues 3-4, 29 August 1991, Pages 243-248.

Вивчено вплив деформацій  $Y_{3\pm 1}(\theta, \varphi)$  на енергетичну поверхню нуклідів в області  $A = 190$ . Знайдено багато нуклідів із супердеформованими та гіпердеформованими мінімумами. Стани, пов'язані з цими мінімумами, виявляються поблизу моменту в  $I = 40$ .

Існують різні більш точні підходи до опису атомних мас

- Thomas-Fermi + Strutinsky Shell Corrections
- Extended Thomas-Fermi + Strutinsky Shell Corrections
- Hartree-Fock and Hartree-Fock-Bogoliubov
- Relativistic Mean Field Theory

## 7. Ділення ядра.

Розділення на два фрагменти, енергетичний стан:

$$\text{Released Energy at Fission} = E(Z, N) - E(Z_1, N_1) - E(Z_2, N_2).$$

Дія:

$$\mathcal{A}(E) = (2/\hbar) \int_a^b \sqrt{2\mu(s)(\mathcal{V}(s) - E)} ds,$$

де  $s$  — траєкторія поділу у просторі  $\beta_2, \beta_3, \dots, \beta_\ell$ ,  $\mu = \sum_{\ell, \ell'} B_{\ell, \ell'} \frac{d\beta_\ell}{ds} \frac{d\beta_{\ell'}}{ds}$ . Коефіцієнт проникнення:

$$T(E) = 1/\{1 + \exp[\mathcal{A}(E)]\}$$

Кількість зіткнень ядра з бар'єром поділу в одиницю часу  $\omega_0/(2\pi)$ :

$$\nu_{\text{sf}} = \frac{2\pi \ln 2}{\omega_0},$$

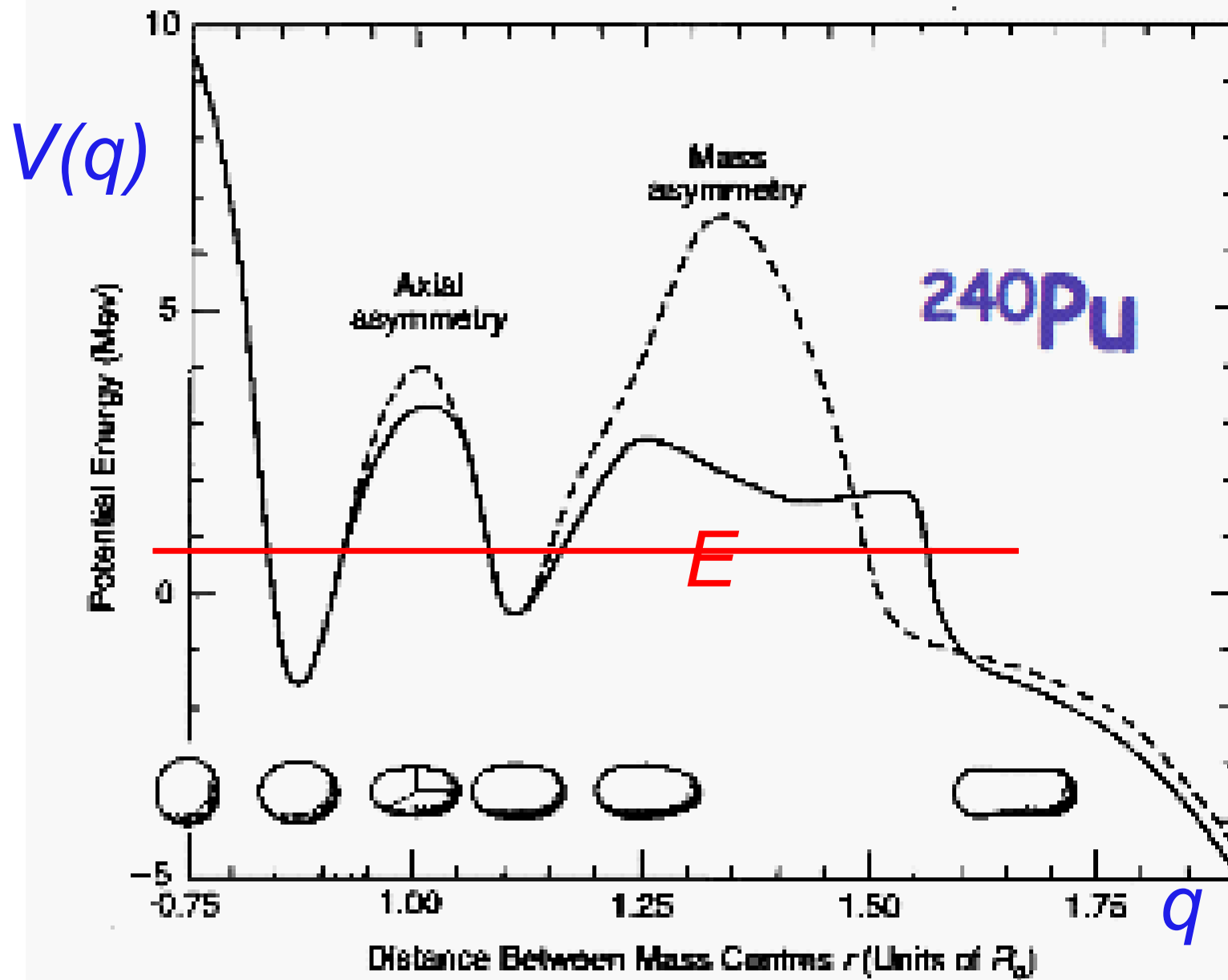
де  $E_{zp} = 0.5\hbar\omega_0 \approx 0.7 \text{ MeV}$ .

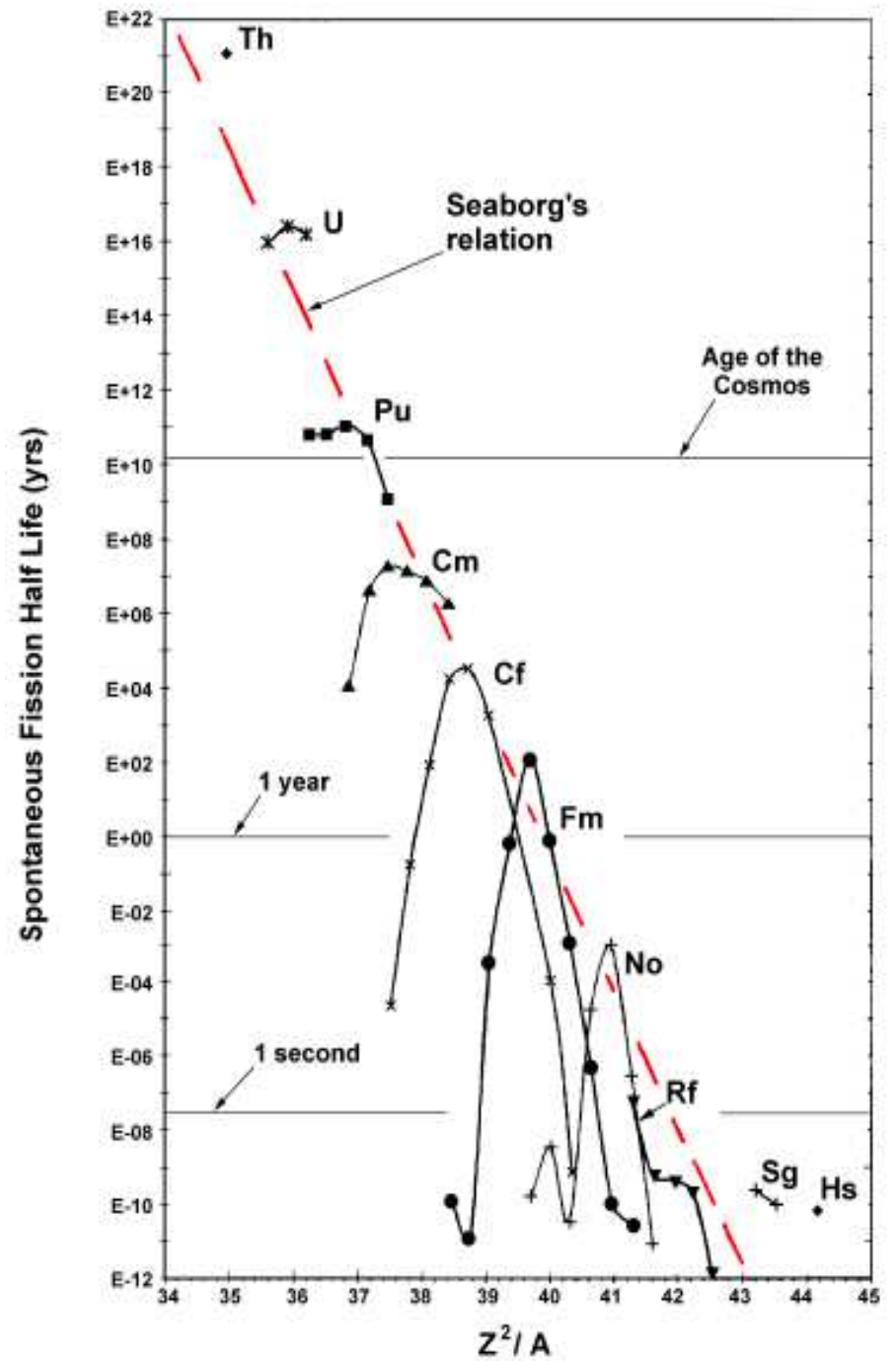
Період напіврозпаду:

$$t_{\text{sf}}(E) = \nu_{\text{sf}}/T(E)$$

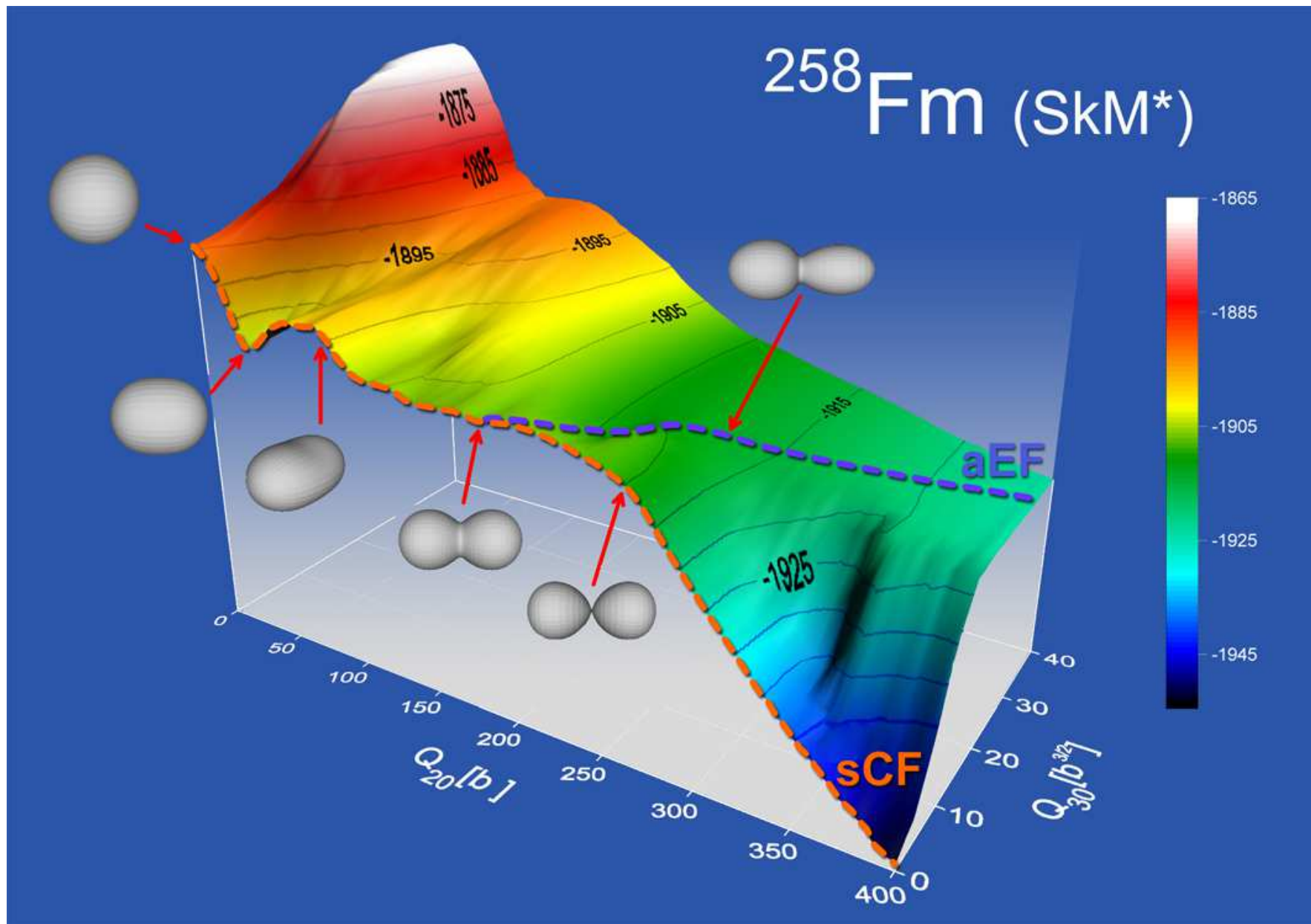


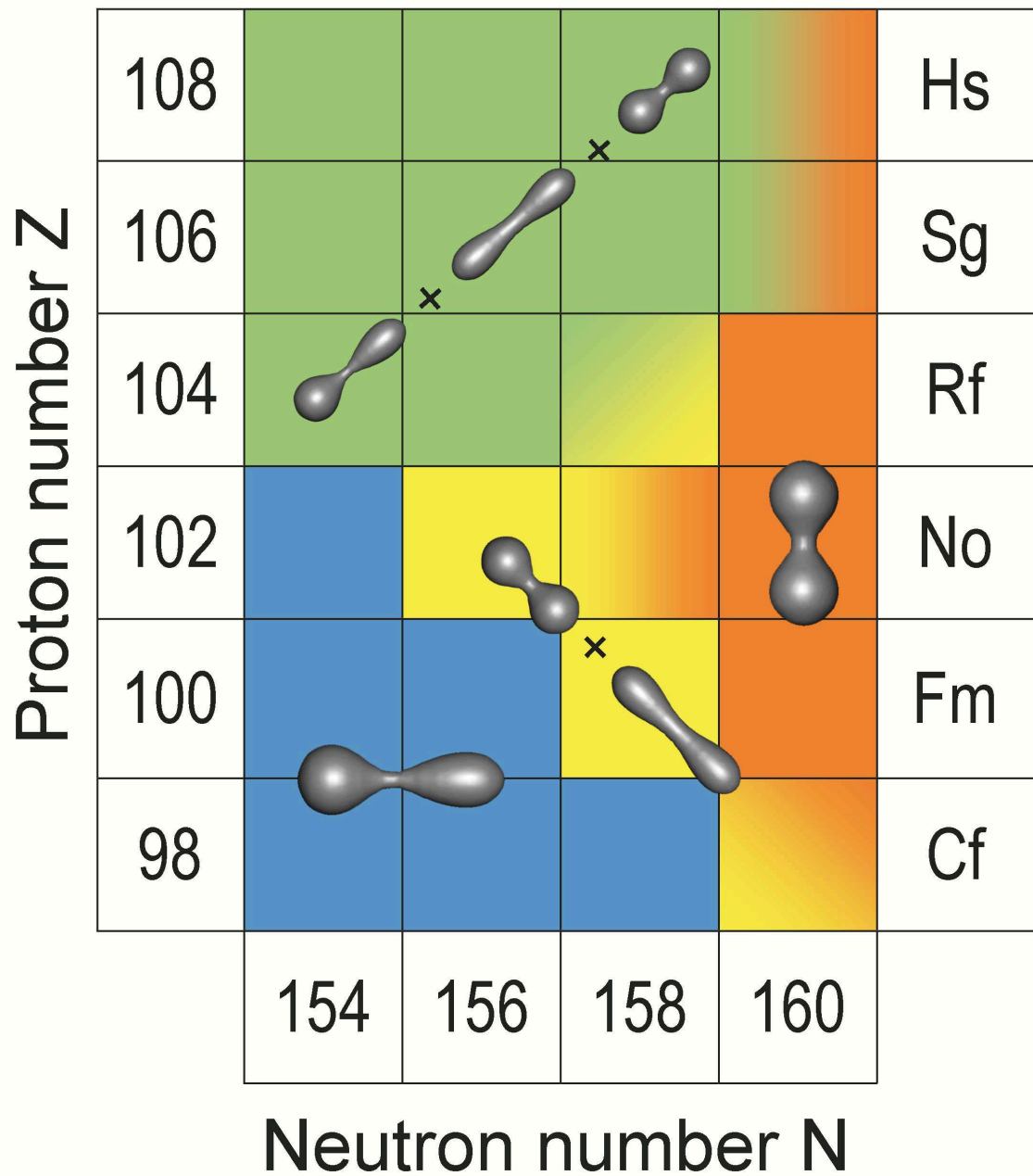
# Fission Barrier: importance of dimensionality and symmetries



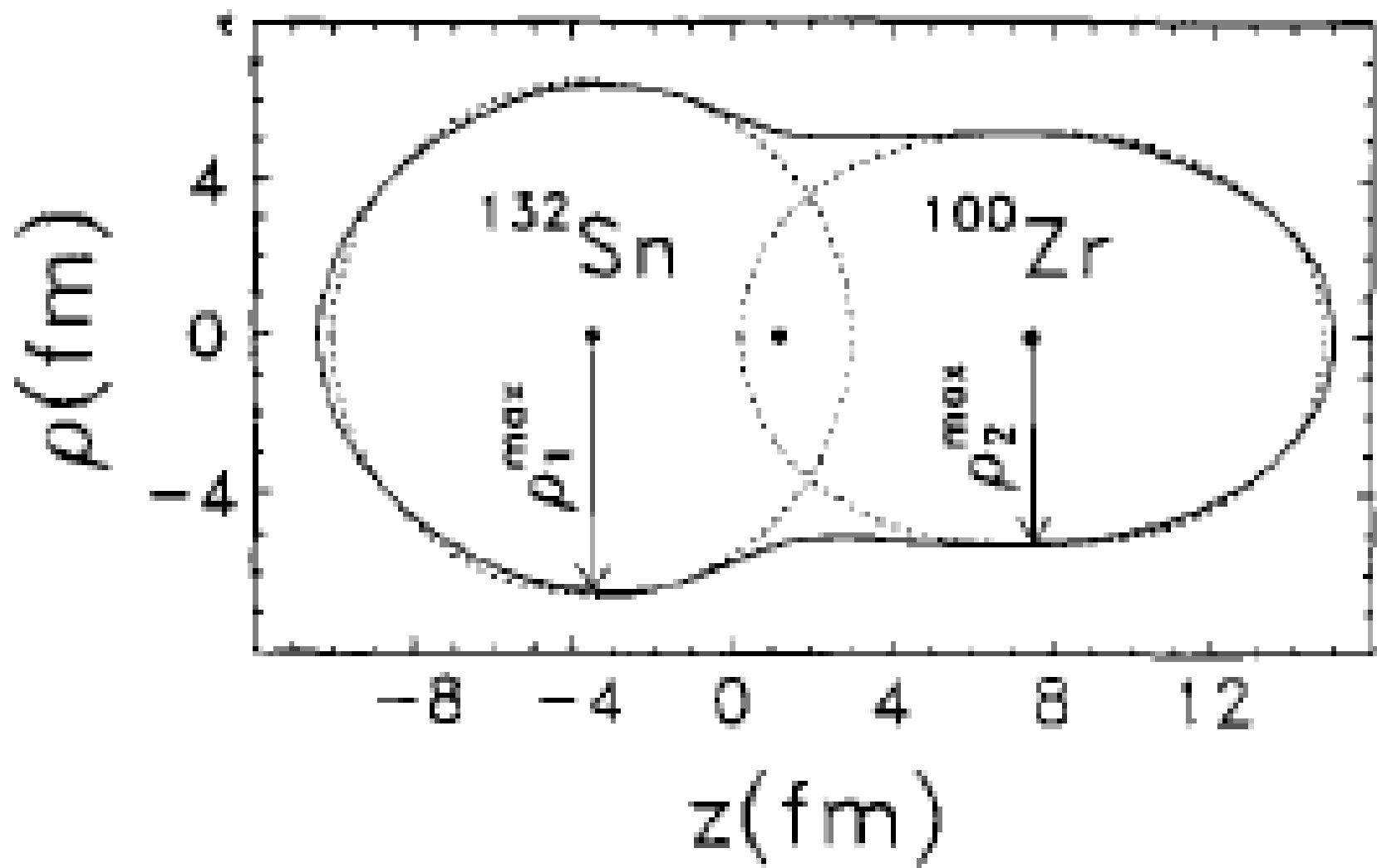


# Bimodal fission





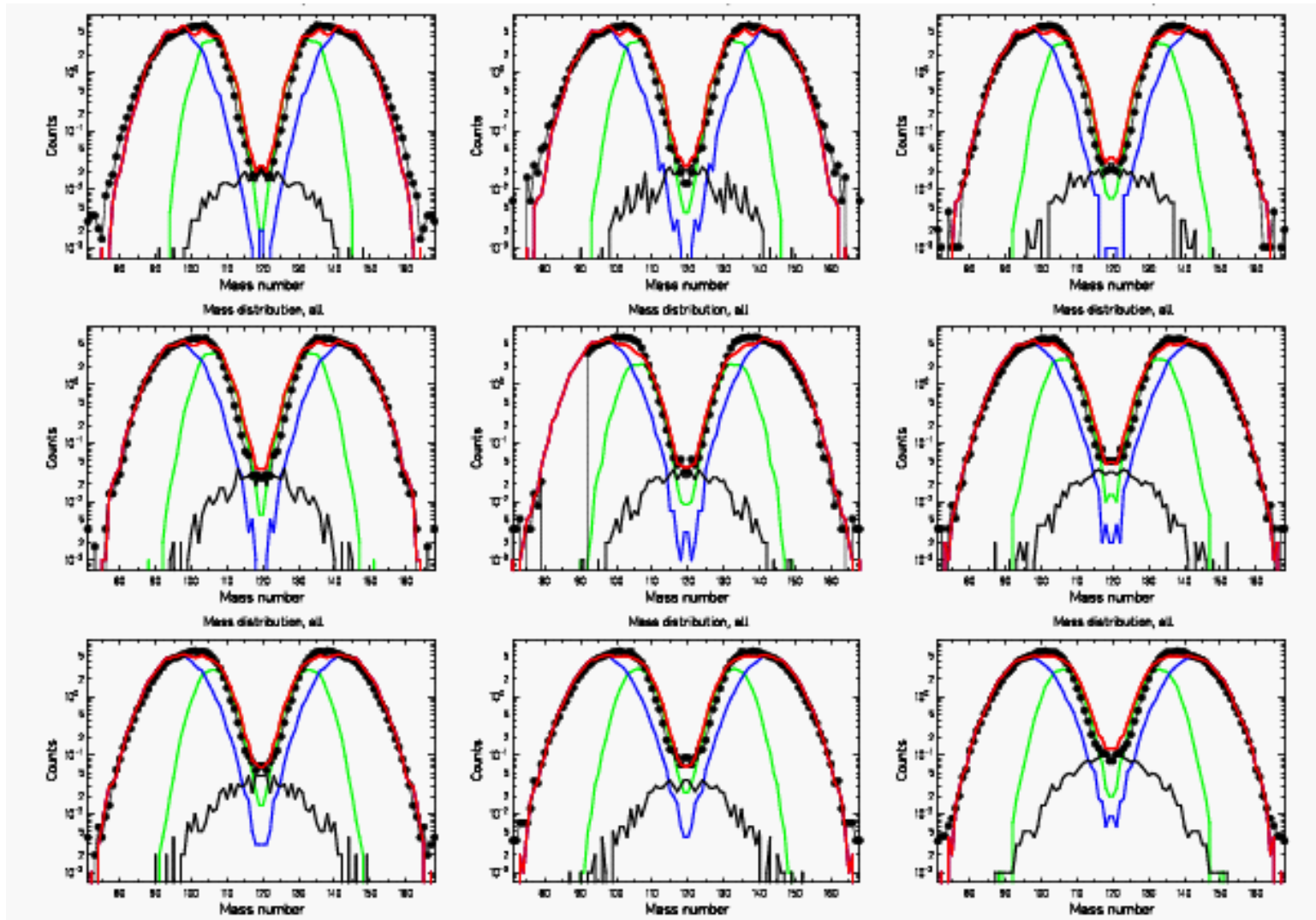
$^{232}\text{Th}$



# Fission fragment modes

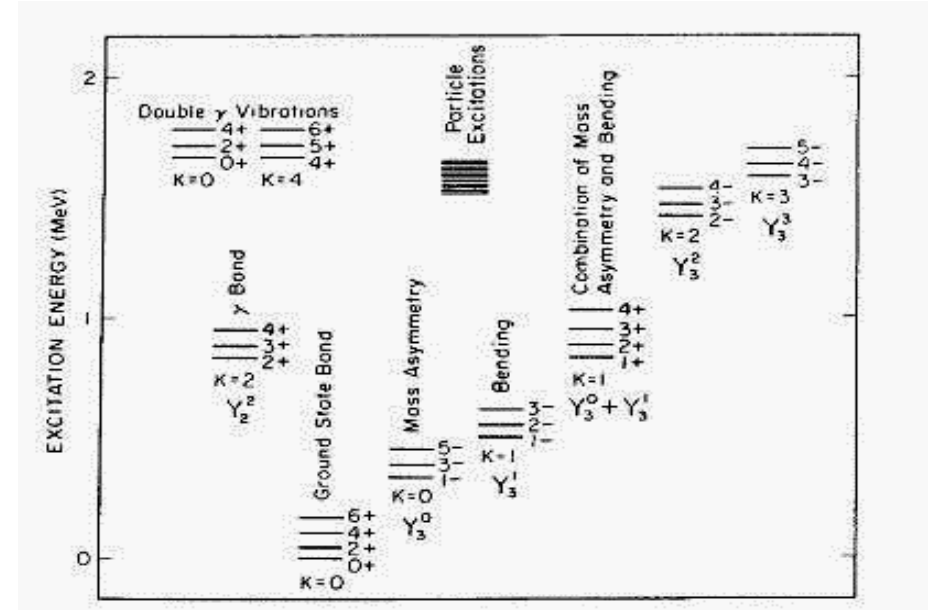
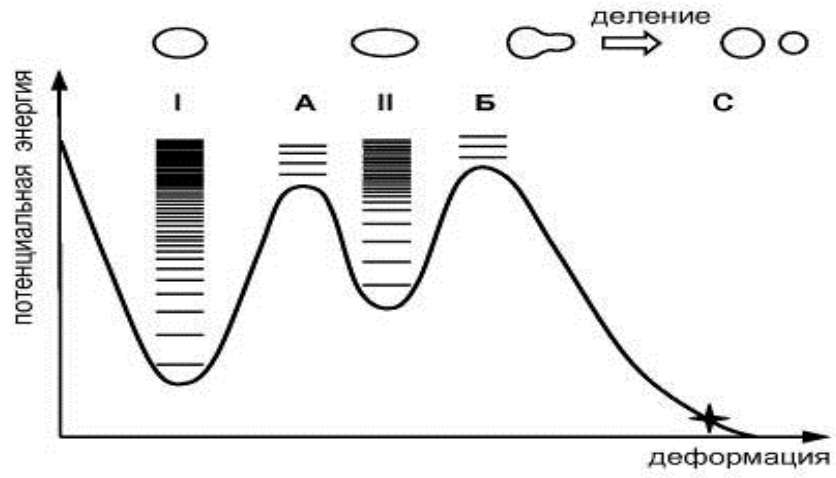
Data - F. Vives et al, Nucl. Phys. A662 (2000) 63;

Lines - Model calculations

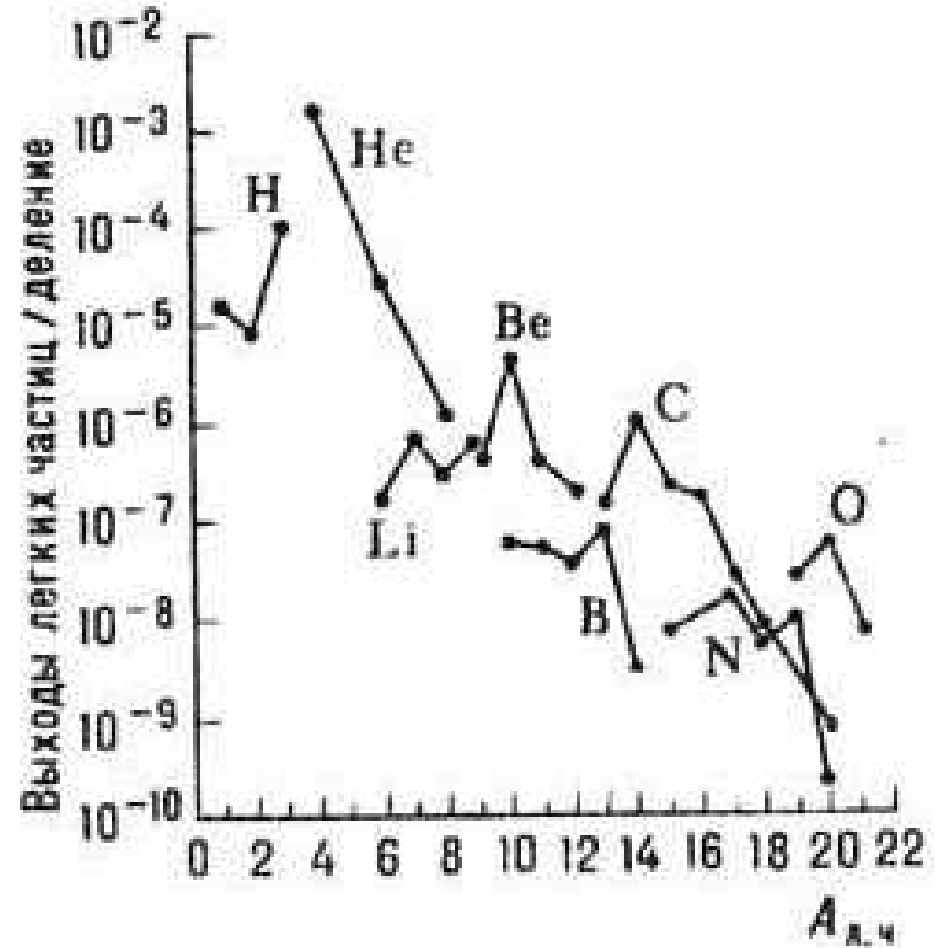
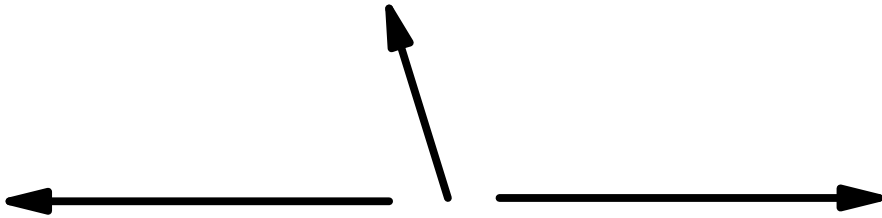


$$Y_{sym}(A) = \frac{1}{\sqrt{\pi}\sigma} \exp\left[-\left(\frac{A-A_0/2}{\sigma}\right)^2\right]; \quad Y_{asym}(A) = \frac{1}{\sqrt{\pi}\sigma} \exp\left[-\left(\frac{A-A_a}{\sigma}\right)^2\right] + \frac{1}{\sqrt{\pi}\sigma} \exp\left[-\left(\frac{A-(A_0-A_a)}{\sigma}\right)^2\right]$$

Fission isomers



Ternary fission: 1 event for few handrents of binary fission events





Дякую за увагу!